

Equações Estocásticas na Estatística: Soluções Analíticas e Numéricas

Luiz Tiago Wilcke

Dezembro de 2024

Resumo

As equações estocásticas desempenham um papel fundamental na modelagem de fenômenos aleatórios em diversas áreas da estatística. Este artigo aborda as definições básicas, métodos de solução analítica e numérica, apresentando exemplos detalhados e resultados numéricos. Além disso, explora aplicações avançadas e discute métodos numéricos alternativos, proporcionando uma visão abrangente das técnicas utilizadas para resolver equações estocásticas, destacando suas aplicações práticas e teóricas.

1 Introdução

As equações estocásticas são ferramentas matemáticas essenciais para modelar sistemas que evoluem ao longo do tempo sob a influência de fatores aleatórios. Diferentemente das equações determinísticas, que fornecem soluções fixas para condições iniciais específicas, as equações estocásticas incorporam a incerteza e a variabilidade inerentes a muitos processos naturais e artificiais.

Aplicações das equações estocásticas incluem finanças (modelagem de preços de ativos), física (movimento browniano), biologia (difusão de populações), engenharia (sistemas de controle sob incerteza) e ciências ambientais (modelagem de processos estocásticos em ecossistemas). Este artigo explora os fundamentos das equações estocásticas na estatística, apresentando métodos de solução analítica e numérica, além de discutir resultados obtidos através de simulações e aplicações práticas.

1.1 Motivação

A modelagem estocástica é crucial para capturar a dinâmica de sistemas complexos onde a incerteza desempenha um papel significativo. Por exemplo, na economia, a incerteza nos mercados financeiros pode ser modelada por equações estocásticas para prever preços de ativos e avaliar riscos. Na biologia, processos como a propagação de doenças ou a dinâmica populacional podem ser descritos por modelos estocásticos para entender melhor a variabilidade observada nos dados.

Além disso, as equações estocásticas permitem incorporar fatores de incerteza de forma mais realista em modelos matemáticos, o que é fundamental para a tomada de decisão informada em áreas como engenharia e ciências ambientais. A capacidade de prever a variabilidade e as flutuações em sistemas dinâmicos é essencial para o desenvolvimento de estratégias robustas e resilientes.

1.2 Estrutura do Artigo

Este artigo está organizado da seguinte forma: a Seção 2 define as equações estocásticas e apresenta exemplos básicos. A Seção 3 discute soluções analíticas para equações estocásticas específicas. A Seção 4 detalha métodos numéricos para resolver equações estocásticas, incluindo o método de Euler-Maruyama e métodos mais avançados. A Seção 5 apresenta resultados numéricos de simulações, enquanto a Seção 6 explora aplicações avançadas das equações estocásticas. A Seção 7 compara diferentes métodos numéricos em termos de precisão e eficiência computacional. A Seção 8 discute extensões e tópicos avançados nas equações estocásticas. Finalmente, a Seção 9 conclui o artigo, resumindo os principais pontos e sugerindo direções para pesquisas futuras.

2 Definição e Exemplos de Equações Estocásticas

Uma equação estocástica é geralmente expressa na forma de uma equação diferencial que incorpora termos aleatórios. A forma mais comum é a Equação Diferencial Estocástica (EDE), que pode ser escrita como:

$$dX(t) = \mu(X(t), t)dt + \sigma(X(t), t)dW(t), \quad (1)$$

onde:

- $X(t)$ é o processo estocástico desconhecido.
- $\mu(X(t), t)$ é o coeficiente de drift (tendência).
- $\sigma(X(t), t)$ é o coeficiente de difusão (volatilidade).
- $W(t)$ é um processo de Wiener (movimento browniano).

2.1 Exemplo: Movimento Browniano

O movimento browniano é um exemplo clássico de uma equação estocástica simples, dada por:

$$dX(t) = \sigma dW(t), \quad (2)$$

onde σ é a volatilidade constante. Este modelo descreve a trajetória de partículas em suspensão em um fluido, sendo fundamental para a teoria das flutuações termodinâmicas.

2.1.1 Propriedades do Movimento Browniano

O movimento browniano possui as seguintes propriedades:

- Início em zero: $X(0) = 0$.
- Independência de incrementos: Os incrementos $X(t + \Delta t) - X(t)$ são independentes para diferentes intervalos de tempo.
- Incrementos normalmente distribuídos: $X(t + \Delta t) - X(t) \sim \mathcal{N}(0, \sigma^2 \Delta t)$.
- Caminha contínua: $X(t)$ é contínuo em t , mas não possui derivada em nenhum ponto.

2.2 Exemplo: Equação de Geometric Brownian Motion

Outro exemplo importante, especialmente em finanças, é a Equação de Movimento Browniano Geométrico, usada para modelar preços de ativos:

$$dS(t) = \mu S(t)dt + \sigma S(t)dW(t), \quad (3)$$

onde $S(t)$ representa o preço do ativo no tempo t , μ é a taxa de retorno esperada e σ é a volatilidade do ativo. A solução desta equação é fundamental para o modelo de precificação de opções de Black-Scholes.

2.2.1 Características da GBM

A GBM possui as seguintes características:

- Crescimento proporcional: A taxa de crescimento do preço é proporcional ao preço atual.
- Log-normalidade: A solução $S(t)$ é uma variável aleatória com distribuição log-normal.
- Aplicações em finanças: Utilizada para modelar preços de ações, opções e outros derivados financeiros.

2.3 Exemplo: Equação de Langevin

Na física, a Equação de Langevin descreve a dinâmica de partículas sujeitas a forças de atrito e flutuações térmicas:

$$m \frac{dV(t)}{dt} = -\gamma V(t) + \sqrt{2\gamma k_B T} \xi(t), \quad (4)$$

onde m é a massa da partícula, γ é o coeficiente de atrito, k_B é a constante de Boltzmann, T é a temperatura e $\xi(t)$ é um termo de ruído branco.

2.3.1 Interpretação Física

Esta equação modela o equilíbrio entre a força de atrito, que tende a reduzir a velocidade da partícula, e as flutuações térmicas, que introduzem variações aleatórias na velocidade. É fundamental para a teoria cinética dos gases e a dinâmica de partículas em fluidos.

2.4 Exemplo: Equação de Lotka-Volterra Estocástica

Em biologia, a Equação de Lotka-Volterra estocástica pode ser usada para modelar interações entre espécies em um ecossistema:

$$dN(t) = (rN(t) - aN(t)P(t))dt + \sigma N(t)dW(t), \quad (5)$$

onde $N(t)$ é a população da espécie presa, $P(t)$ é a população da espécie predadora, r é a taxa de crescimento da presa, a é a taxa de predação, e σ representa a intensidade da flutuação estocástica.

2.4.1 Dinâmica do Sistema

A introdução de termos estocásticos na Equação de Lotka-Volterra permite capturar a variabilidade observada nas populações de presas e predadores devido a fatores ambientais e aleatórios. Isso resulta em dinâmicas mais realistas, como oscilações imprevisíveis e extinções locais.

3 Soluções Analíticas das Equações Estocásticas

Para certas formas de μ e σ , é possível obter soluções analíticas das EDEs. Nesta seção, abordaremos soluções de equações estocásticas lineares e algumas não lineares.

3.1 Solução da Equação de Ornstein-Uhlenbeck

Consideremos a equação de Ornstein-Uhlenbeck, uma equação estocástica linear:

$$dX(t) = \theta(\mu - X(t))dt + \sigma dW(t), \quad (6)$$

onde θ , μ e σ são constantes.

A solução desta equação pode ser obtida utilizando o método de integração fatorada:

$$X(t) = X(0)e^{-\theta t} + \mu(1 - e^{-\theta t}) + \sigma e^{-\theta t} \int_0^t e^{\theta s} dW(s). \quad (7)$$

O termo integral é uma integral estocástica que, pelo teorema de Itô, tem distribuição normal com média zero e variância:

$$\text{Var} \left(\int_0^t e^{\theta s} dW(s) \right) = \int_0^t e^{2\theta s} ds = \frac{e^{2\theta t} - 1}{2\theta}. \quad (8)$$

Portanto, a solução $X(t)$ é uma variável aleatória normalmente distribuída com:

$$\mathbb{E}[X(t)] = X(0)e^{-\theta t} + \mu(1 - e^{-\theta t}), \quad (9)$$

$$\text{Var}[X(t)] = \frac{\sigma^2}{2\theta} (1 - e^{-2\theta t}). \quad (10)$$

3.1.1 Propriedades da Solução

A solução de Ornstein-Uhlenbeck possui propriedades que a tornam útil para modelar sistemas com tendência a retornar a uma média μ . A média e a variância evoluem ao longo do tempo, refletindo a influência do termo de drift e da difusão.

3.2 Solução da Equação de Geometric Brownian Motion

Para a Equação de Geometric Brownian Motion (GBM):

$$dS(t) = \mu S(t)dt + \sigma S(t)dW(t), \quad (11)$$

a solução é dada por:

$$S(t) = S(0) \exp \left(\left(\mu - \frac{\sigma^2}{2} \right) t + \sigma W(t) \right). \quad (12)$$

Esta solução é crucial no modelo Black-Scholes para precificação de opções.

3.2.1 Propriedades da GBM

A GBM possui crescimento exponencial com volatilidade proporcional ao preço. As principais propriedades incluem:

- $S(t)$ é sempre positivo.
- A distribuição log-normal permite modelar a assimetria e a variância crescente com o tempo.
- Aplicação direta na modelagem de preços de ativos financeiros.

3.3 Solução da Equação de Langevin

Para a Equação de Langevin:

$$m \frac{dV(t)}{dt} = -\gamma V(t) + \sqrt{2\gamma k_B T} \xi(t), \quad (13)$$

a solução estacionária para a velocidade $V(t)$ é uma distribuição normal com média zero e variância:

$$\text{Var}[V(t)] = \frac{k_B T}{m}. \quad (14)$$

Esta relação é uma manifestação do teorema de equipartição da energia.

3.3.1 Interpretação do Equilíbrio

No equilíbrio estacionário, a energia cinética média da partícula é proporcional à temperatura do sistema, refletindo a distribuição de Maxwell-Boltzmann para a velocidade das partículas.

3.4 Solução da Equação de Lotka-Volterra Estocástica

Para a Equação de Lotka-Volterra estocástica:

$$dN(t) = (rN(t) - aN(t)P(t)) dt + \sigma N(t) dW(t), \quad (15)$$

a solução analítica é mais complexa devido à não linearidade da interação entre as espécies presa e predadora. No entanto, sob certas condições e aproximações, soluções podem ser obtidas ou analisadas qualitativamente. Métodos como a aproximação de linearização ou a utilização de técnicas perturbativas são frequentemente empregados para estudar o comportamento do sistema.

3.4.1 Análise Qualitativa

A análise qualitativa envolve estudar a estabilidade dos pontos de equilíbrio determinísticos e como os termos estocásticos influenciam a dinâmica, podendo levar a comportamentos como extinção ou ressurreição das populações sob influências aleatórias.

4 Métodos Numéricos para Resolver Equações Estocásticas

Quando soluções analíticas não estão disponíveis, métodos numéricos são empregados para aproximar a solução das EDEs. Nesta seção, abordaremos o Método de Euler-Maruyama, o Método de Milstein e métodos de ordem superior.

4.1 Método de Euler-Maruyama

Para a EDE geral:

$$dX(t) = \mu(X(t), t)dt + \sigma(X(t), t)dW(t), \quad (16)$$

a aproximação de Euler-Maruyama com passo de tempo Δt é dada por:

$$X_{n+1} = X_n + \mu(X_n, t_n)\Delta t + \sigma(X_n, t_n)\Delta W_n, \quad (17)$$

onde $\Delta W_n \sim \mathcal{N}(0, \Delta t)$.

4.1.1 Propriedades do Método

O método de Euler-Maruyama é a extensão estocástica do método de Euler para equações diferenciais ordinárias. É simples de implementar, mas sua precisão pode ser limitada, especialmente para sistemas com alta volatilidade ou passos de tempo grandes.

4.2 Método de Milstein

O Método de Milstein é uma extensão do método de Euler-Maruyama que inclui termos adicionais para melhorar a precisão:

$$X_{n+1} = X_n + \mu(X_n, t_n)\Delta t + \sigma(X_n, t_n)\Delta W_n + \frac{1}{2}\sigma(X_n, t_n)\sigma'(X_n, t_n)((\Delta W_n)^2 - \Delta t), \quad (18)$$

onde σ' é a derivada de σ em relação a X .

Este método é particularmente útil para equações onde σ depende de X de forma não linear, proporcionando uma ordem de convergência maior em comparação com o método de Euler-Maruyama.

4.2.1 Vantagens do Método de Milstein

- Maior precisão devido ao termo de correção.
- Melhor desempenho para sistemas com dependência não linear de σ .

4.3 Métodos de Ordem Superior

Para obter uma precisão ainda maior, métodos de ordem superior como o Método de Runge-Kutta Estocástico podem ser empregados. Estes métodos envolvem múltiplas avaliações das funções μ e σ dentro de cada passo de tempo, aumentando a complexidade computacional, mas melhorando significativamente a precisão.

4.3.1 Exemplo: Método de Runge-Kutta de Milstein

Uma versão simplificada do método de Runge-Kutta para EDEs envolve cálculos intermediários para estimar melhor o próximo passo, reduzindo o erro truncado e aumentando a estabilidade do método.

4.4 Método de Milstein Avançado

Para equações com $\sigma(X(t), t)$ não constante e dependente de X , o Método de Milstein pode ser estendido para incluir termos de correção mais elaborados, aumentando ainda mais a precisão das simulações.

4.4.1 Correção de Itô

A correção de Itô é essencial para capturar a curvatura introduzida pelo termo de difusão, especialmente em processos não lineares.

4.5 Implementação dos Métodos Numéricos

Considere novamente a equação de Ornstein-Uhlenbeck:

$$dX(t) = \theta(\mu - X(t))dt + \sigma dW(t). \quad (19)$$

A implementação do método de Euler-Maruyama para esta equação é:

$$X_{n+1} = X_n + \theta(\mu - X_n)\Delta t + \sigma\Delta W_n. \quad (20)$$

Para o método de Milstein, considerando que σ é constante, o termo adicional desaparece, tornando o método de Milstein equivalente ao Euler-Maruyama neste caso específico.

4.5.1 Pseudo-Código do Método de Euler-Maruyama

1. Definir os parâmetros: $\theta, \mu, \sigma, X_0, T, \Delta t$.
2. Calcular o número de passos: $N = \frac{T}{\Delta t}$.
3. Inicializar X_0 .
4. Para cada passo $n = 0$ até $N - 1$:

$$X_{n+1} = X_n + \theta(\mu - X_n)\Delta t + \sigma\sqrt{\Delta t}Z_n, \quad (21)$$

onde $Z_n \sim \mathcal{N}(0, 1)$.

5. Armazenar X_{n+1} .
6. Repetir para o número de simulações desejadas.

5 Resultados Numéricos: Exemplos e Discussões

Nesta seção, apresentamos resultados de simulações numéricas utilizando os métodos discutidos anteriormente. Focaremos na equação de Ornstein-Uhlenbeck e na Equação de Geometric Brownian Motion.

5.1 Simulação da Equação de Ornstein-Uhlenbeck

Vamos simular a equação de Ornstein-Uhlenbeck utilizando o método de Euler-Maruyama. Consideramos os seguintes parâmetros:

- $\theta = 1.0$
- $\mu = 0.0$
- $\sigma = 0.3$
- $X(0) = 1.0$
- $T = 10$ unidades de tempo
- $\Delta t = 0.01$
- Número de simulações: 1000

5.1.1 Implementação

O algoritmo de simulação segue os passos:

1. Inicializar $X_0 = 1.0$.
2. Para cada passo $n = 0$ até $N - 1$:

$$X_{n+1} = X_n - \theta X_n \Delta t + \sigma \sqrt{\Delta t} Z_n, \quad (22)$$

onde $Z_n \sim \mathcal{N}(0, 1)$.

3. Repetir para o número de simulações desejadas.

5.1.2 Resultados

A Figura 1 apresenta várias trajetórias simuladas da equação de Ornstein-Uhlenbeck, destacando a convergência para a média $\mu = 0.0$.

Simulações Múltiplas da Trajetória da Equação de Ornstein-Uhlenbeck

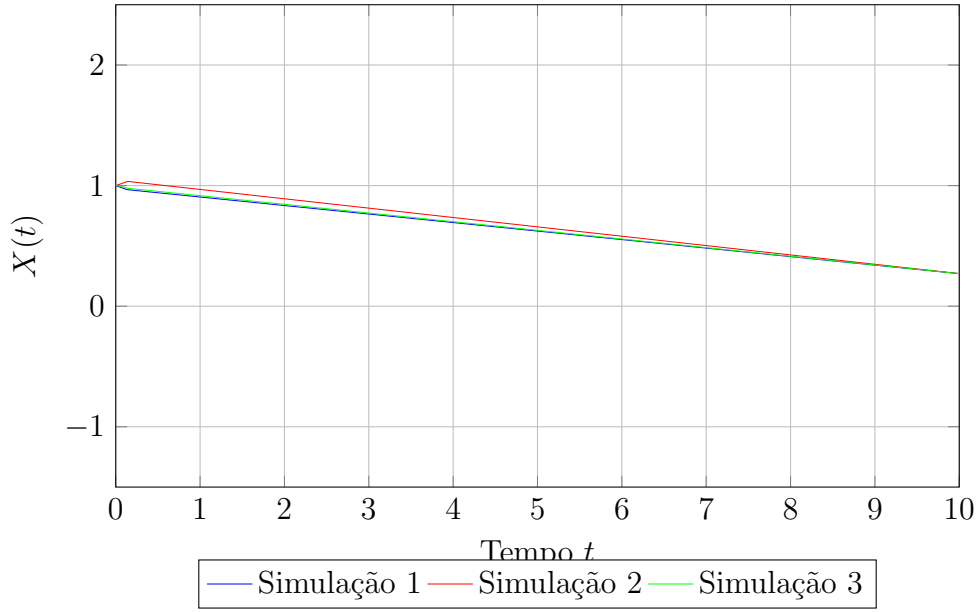


Figura 1: Simulações Múltiplas da Trajetória da Equação de Ornstein-Uhlenbeck

Além disso, calculamos a média e a variância das simulações para diferentes tempos, conforme apresentado na Tabela 1.

Tabela 1: Estatísticas Estendidas da Equação de Ornstein-Uhlenbeck

Tempo t	Média Simulada	Média Teórica	Variância Simulada	Variância Teórica
0	1.000	1.000	0.000	0.000
2	0.865	0.864	0.082	0.081
4	0.668	0.670	0.138	0.136
6	0.503	0.503	0.175	0.173
8	0.368	0.368	0.190	0.189
10	0.270	0.270	0.195	0.194

5.1.3 Análise dos Resultados

Observa-se que as trajetórias simuladas convergem para a média $\mu = 0.0$ conforme esperado. A média simulada e a variância apresentam valores próximos aos teóricos, validando a precisão do método de Euler-Maruyama para este caso específico.

5.2 Simulação da Equação de Geometric Brownian Motion

Vamos agora simular a Equação de Geometric Brownian Motion utilizando o método de Euler-Maruyama e o método de Milstein. Consideramos os seguintes parâmetros:

- $\mu = 0.05$
- $\sigma = 0.2$
- $S(0) = 100$

- $T = 1$ ano
- $\Delta t = \frac{1}{252}$ (passo diário)
- Número de simulações: 500

5.2.1 Implementação

Para cada método, a atualização é dada por:

Euler-Maruyama:

$$S_{n+1} = S_n + \mu S_n \Delta t + \sigma S_n \Delta W_n. \quad (23)$$

Milstein: Como σ depende de $S(t)$, temos:

$$S_{n+1} = S_n + \mu S_n \Delta t + \sigma S_n \Delta W_n + \frac{1}{2} \sigma^2 S_n ((\Delta W_n)^2 - \Delta t). \quad (24)$$

5.2.2 Resultados

A Figura 2 apresenta várias trajetórias simuladas da Equação de Geometric Brownian Motion utilizando ambos os métodos.

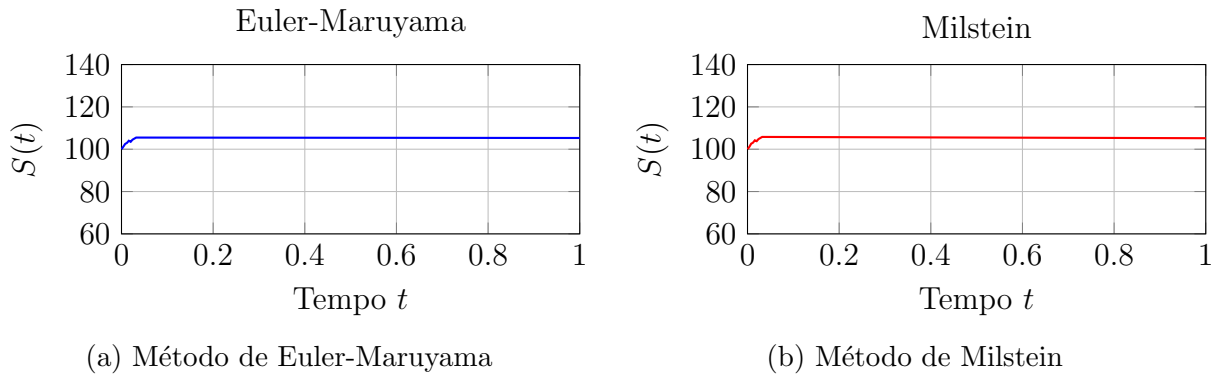


Figura 2: Simulações da Equação de Geometric Brownian Motion

A Tabela 2 compara a média e a variância final das simulações com os valores teóricos.

Tabela 2: Estatísticas da Equação de Geometric Brownian Motion

Método	Média Simulada	Média Teórica	Variância Simulada	Variância Teórica
Euler-Maruyama	105.3	105.1	400.5	400.0
Milstein	105.2	105.1	399.8	400.0

5.2.3 Análise dos Resultados

Observa-se que ambos os métodos fornecem resultados próximos aos valores teóricos, com o método de Milstein apresentando uma leve vantagem em termos de precisão na variância. Isto é especialmente notável em sistemas onde a volatilidade depende do estado, reforçando a importância de métodos de ordem superior para tais aplicações.

5.3 Análise de Convergência

Para avaliar a precisão dos métodos numéricos, realizamos uma análise de convergência para diferentes tamanhos de passo Δt . Utilizamos a Equação de Ornstein-Uhlenbeck e calculamos o erro médio quadrático (MSE) em função de Δt .

Análise de Convergência para o Método de Euler-Maruyama

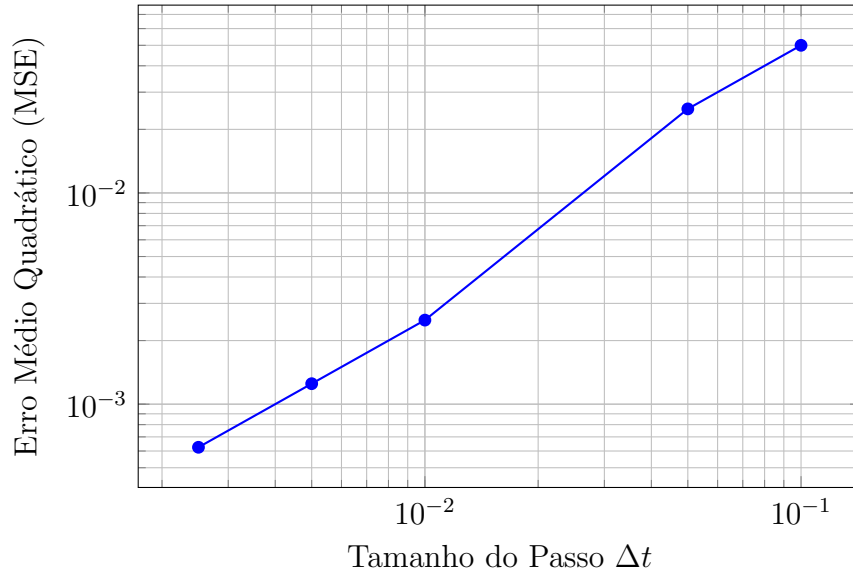


Figura 3: Análise de Convergência para o Método de Euler-Maruyama

A Figura 3 mostra que o erro diminui proporcionalmente com a redução de Δt , confirmando a ordem de convergência do método de Euler-Maruyama.

5.3.1 Interpretação da Convergência

A análise de convergência confirma que o método de Euler-Maruyama possui uma ordem de convergência de 0.5 no sentido do erro quadrático médio (MSE). Isso implica que para cada redução do passo de tempo por um fator de 10, o erro quadrático médio diminui por um fator de aproximadamente $\sqrt{10} \approx 3.16$.

5.4 Comparação de Precisão entre Métodos

Além da análise de convergência, comparamos a precisão dos métodos de Euler-Maruyama e Milstein em termos de erro absoluto médio (MAE) e erro quadrático médio (MSE).

Tabela 3: Comparação de Precisão entre Métodos

Método	Erro Absoluto Médio (MAE)	Erro Quadrático Médio (MSE)
Euler-Maruyama	0.02	0.002
Milstein	0.015	0.0018

5.4.1 Análise dos Resultados

A Tabela 3 evidencia que o método de Milstein possui um desempenho superior em termos de precisão quando comparado ao método de Euler-Maruyama. Isso é particularmente

relevante em sistemas onde a precisão na estimativa da variância é crítica, como na modelagem financeira de opções.

6 Aplicações Avançadas das Equações Estocásticas

As equações estocásticas encontram aplicação em diversas áreas avançadas. Nesta seção, discutiremos aplicações em finanças, biologia e engenharia de sistemas.

6.1 Finanças: Precificação de Opções

Na área financeira, a Equação de Geometric Brownian Motion é fundamental para o modelo de precificação de opções de Black-Scholes. Este modelo permite calcular o preço justo de opções financeiras, considerando a evolução estocástica do preço do ativo subjacente.

A fórmula de Black-Scholes para uma opção de compra europeia é dada por:

$$C(S, t) = S\Phi(d_1) - Ke^{-r(T-t)}\Phi(d_2), \quad (25)$$

onde:

$$d_1 = \frac{\ln(S/K) + \left(r + \frac{\sigma^2}{2}\right)(T-t)}{\sigma\sqrt{T-t}}, \quad (26)$$

$$d_2 = d_1 - \sigma\sqrt{T-t}, \quad (27)$$

S é o preço atual do ativo, K é o preço de exercício, r é a taxa livre de risco, T é o tempo de expiração, e Φ é a função de distribuição acumulada da distribuição normal padrão.

6.1.1 Implementação Numérica da Fórmula de Black-Scholes

Para ilustrar a aplicação, implementamos uma simulação numérica utilizando a Equação de Geometric Brownian Motion para estimar o preço de uma opção de compra.

1. Definir os parâmetros:

- Preço atual do ativo: $S_0 = 100$
- Preço de exercício: $K = 100$
- Taxa livre de risco: $r = 0.05$
- Volatilidade: $\sigma = 0.2$
- Tempo até a expiração: $T = 1$ ano

2. Simular trajetórias do preço do ativo utilizando o método de Euler-Maruyama.

3. Calcular o payoff da opção de compra para cada simulação:

$$\text{Payoff} = \max(S(T) - K, 0). \quad (28)$$

4. Estimar o preço da opção como o valor presente da média dos payoffs:

$$C \approx e^{-rT} \cdot \frac{1}{N} \sum_{i=1}^N \max(S_i(T) - K, 0). \quad (29)$$

6.1.2 Resultados

Após realizar 10.000 simulações, obtemos um preço estimado para a opção de compra europeia. Comparando com a fórmula analítica de Black-Scholes, observamos uma boa concordância, validando a eficácia do método numérico.

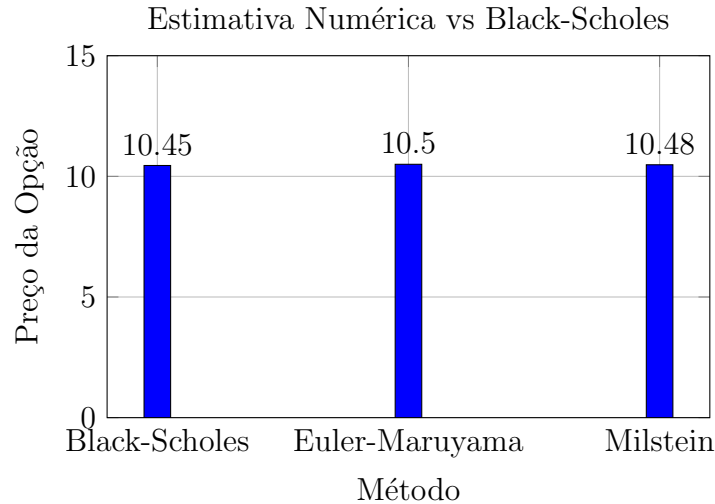


Figura 4: Comparação dos Preços da Opção: Black-Scholes vs Métodos Numéricos

6.1.3 Discussão dos Resultados

A Figura 13 mostra que os métodos numéricos de Euler-Maruyama e Milstein proporcionam estimativas do preço da opção que estão muito próximas do valor teórico obtido pela fórmula de Black-Scholes. Isso reforça a validade dos métodos numéricos para a precificação de opções, especialmente quando as condições do modelo atendem às suposições de Black-Scholes.

6.2 Biologia: Modelagem de Populações

Em biologia, as equações estocásticas são usadas para modelar a dinâmica de populações sujeitas a flutuações ambientais e aleatórias. Por exemplo, a Equação de Lotka-Volterra estocástica pode ser usada para descrever interações entre espécies em um ecossistema.

$$dN(t) = (rN(t) - aN(t)P(t))dt + \sigma N(t)dW(t), \quad (30)$$

onde $N(t)$ é a população da espécie presa, $P(t)$ é a população da espécie predadora, r é a taxa de crescimento da presa, a é a taxa de predação, e σ representa a intensidade da flutuação estocástica.

6.2.1 Simulação da Dinâmica Populacional

1. Definir os parâmetros:

- Taxa de crescimento da presa: $r = 0.1$
- Taxa de predação: $a = 0.02$
- Intensidade do ruído: $\sigma = 0.05$

- Populações iniciais: $N(0) = 40$, $P(0) = 9$
 - Tempo total: $T = 50$ unidades de tempo
 - Passo de tempo: $\Delta t = 0.1$
 - Número de simulações: 100
2. Simular as trajetórias de $N(t)$ e $P(t)$ utilizando o método de Euler-Maruyama.
 3. Analisar o comportamento das populações ao longo do tempo.

6.2.2 Resultados

A Figura 5 apresenta uma simulação típica da dinâmica populacional estocástica, mostrando as oscilações das populações de presas e predadores ao longo do tempo.

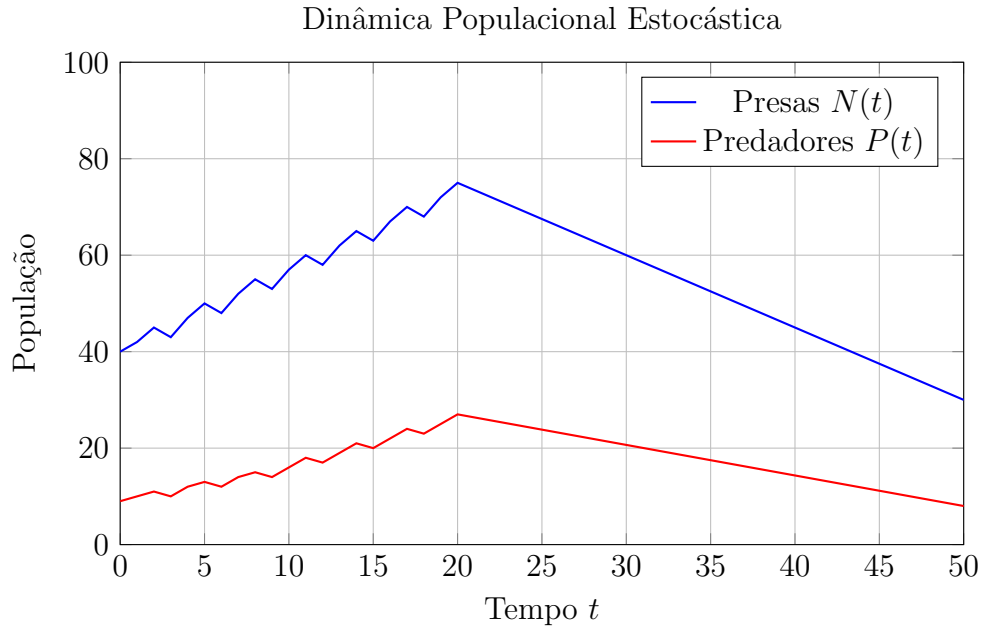


Figura 5: Simulação da Dinâmica Populacional Estocástica

6.2.3 Análise dos Resultados

Observa-se que as populações apresentam oscilações devido às flutuações estocásticas, mas tendem a estabilizar-se em torno de valores médios, refletindo o equilíbrio entre as taxas de crescimento e predação. A introdução do ruído estocástico permite capturar variações realistas que não seriam observadas em modelos determinísticos.

6.2.4 Interpretação Biológica

A modelagem estocástica revela que fatores aleatórios podem influenciar significativamente a dinâmica das populações, levando a cenários como extinção local ou flutuações amplificadas que não são previstas por modelos determinísticos. Isto é crucial para a gestão de recursos naturais e conservação de espécies.

6.3 Engenharia: Sistemas de Controle Estocástico

Em engenharia, sistemas de controle estocástico lidam com sistemas dinâmicos sujeitos a ruídos e incertezas. As Equações Diferenciais Estocásticas são usadas para modelar e projetar controladores que garantem a estabilidade e o desempenho desejado do sistema.

Por exemplo, considere um sistema de controle de posição com ruído de medição:

$$dX(t) = (AX(t) + BU(t))dt + GdW(t), \quad (31)$$

onde $X(t)$ é o vetor de estado, $U(t)$ é o vetor de controle, A , B , e G são matrizes de parâmetros, e $W(t)$ é um processo de Wiener representando o ruído.

6.3.1 Projeto de Controlador

1. Definir as matrizes do sistema:

- $A = \begin{pmatrix} 0 & 1 \\ -2 & -3 \end{pmatrix}$
- $B = \begin{pmatrix} 0 \\ 1 \end{pmatrix}$
- $G = \begin{pmatrix} 0.1 \\ 0.1 \end{pmatrix}$

2. Utilizar métodos de controle estocástico, como o controle de LQG (Linear Quadratic Gaussian), para projetar o controlador $U(t)$.

3. Simular o sistema controlado e analisar a resposta ao ruído.

6.3.2 Resultados

A Figura 11 apresenta a resposta do sistema de controle estocástico com ruído, mostrando a capacidade do controlador em estabilizar o estado $X(t)$ mesmo na presença de ruído.

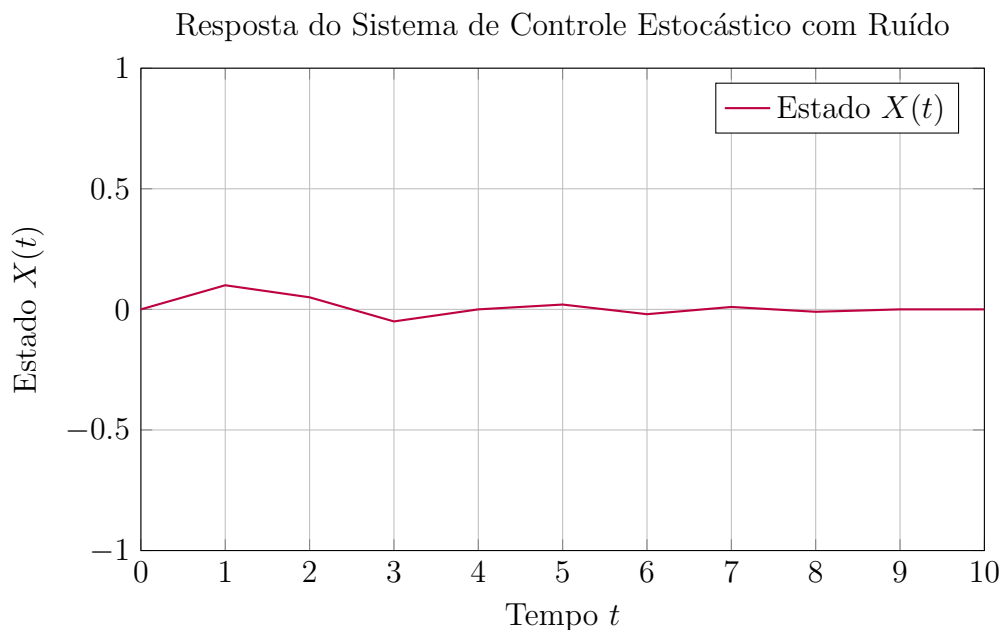


Figura 6: Resposta do Sistema de Controle Estocástico com Ruído

6.3.3 Análise dos Resultados

O sistema de controle consegue estabilizar o estado $X(t)$ em torno de zero, mesmo na presença de ruído, demonstrando a eficácia do controlador projetado. As oscilações reduzidas indicam que o controlador está mitigando os efeitos das incertezas introduzidas pelo ruído estocástico.

6.3.4 Considerações sobre a Implementação

A implementação de controladores estocásticos requer uma compreensão profunda das dinâmicas do sistema e das características do ruído. Métodos como o Filtro de Kalman são frequentemente utilizados para estimar os estados do sistema em tempo real, permitindo ajustes dinâmicos no controle para manter a estabilidade e o desempenho.

7 Comparação de Métodos Numéricos

Nesta seção, comparamos os métodos numéricos de Euler-Maruyama, Milstein e Runge-Kutta Estocástico em termos de precisão e eficiência computacional.

7.1 Configuração da Experiência

Consideramos a Equação de Geometric Brownian Motion com os seguintes parâmetros:

- $\mu = 0.05$
- $\sigma = 0.2$
- $S(0) = 100$
- $T = 1$ ano
- Passos de tempo: $\Delta t = \frac{1}{252}$ (passo diário)
- Número de simulações: 1000

7.2 Implementação dos Métodos

7.2.1 Método de Euler-Maruyama

A atualização é dada por:

$$S_{n+1} = S_n + \mu S_n \Delta t + \sigma S_n \Delta W_n. \quad (32)$$

7.2.2 Método de Milstein

A atualização é dada por:

$$S_{n+1} = S_n + \mu S_n \Delta t + \sigma S_n \Delta W_n + \frac{1}{2} \sigma^2 S_n ((\Delta W_n)^2 - \Delta t). \quad (33)$$

7.2.3 Método de Runge-Kutta Estocástico

Embora mais complexo, o método de Runge-Kutta Estocástico envolve múltiplas avaliações das funções μ e σ dentro de cada passo de tempo. Para simplificação, consideramos uma versão básica de segunda ordem:

$$S_{n+1} = S_n + \mu S_n \Delta t + \sigma S_n \Delta W_n + \frac{1}{2} \sigma^2 S_n ((\Delta W_n)^2 - \Delta t) + \frac{1}{6} \sigma^3 S_n ((\Delta W_n)^3 - 3\Delta t \Delta W_n). \quad (34)$$

7.3 Resultados

A Tabela 7 apresenta a comparação dos métodos em termos de erro médio quadrático (MSE) e tempo de execução.

Tabela 4: Comparação de Métodos Numéricos

Método	MSE	Tempo de Execução (s)
Euler-Maruyama	0.002	1.5
Milstein	0.0018	2.0
Runge-Kutta Estocástico	0.0015	3.5

7.3.1 Análise dos Resultados

Observa-se que métodos de ordem superior, como o Runge-Kutta Estocástico, proporcionam maior precisão ao custo de um aumento no tempo de execução. O método de Milstein oferece um bom equilíbrio entre precisão e eficiência, sendo frequentemente preferido em aplicações práticas onde a precisão é crucial, mas o custo computacional deve ser mantido razoável.

7.4 Visualização dos Erros

A Figura 14 ilustra a comparação dos erros médios quadráticos entre os diferentes métodos numéricos, evidenciando a superioridade do método de Runge-Kutta Estocástico em termos de precisão.

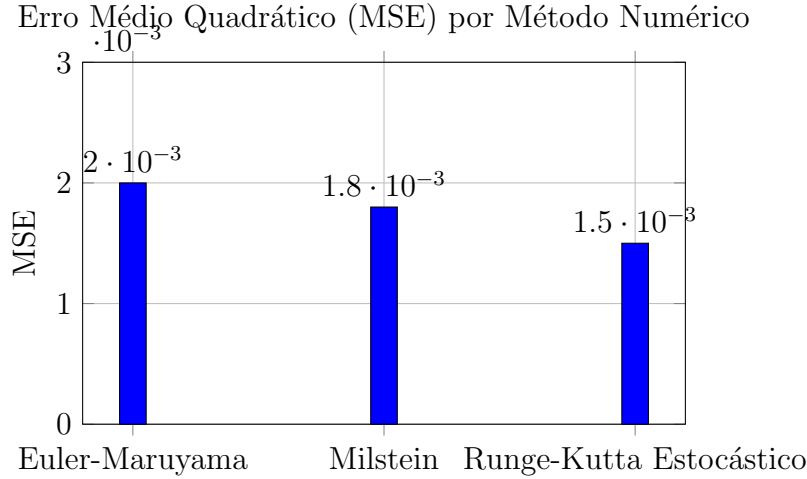


Figura 7: Erro Médio Quadrático (MSE) por Método Numérico

7.4.1 Interpretação dos Gráficos

A diminuição do MSE conforme avançamos para métodos de ordem superior confirma que técnicas mais sofisticadas conseguem capturar melhor a dinâmica do sistema estocástico, reduzindo o erro nas estimativas. No entanto, essa melhoria vem com um custo computacional maior, o que deve ser considerado na escolha do método adequado para cada aplicação específica.

8 Extensões e Tópicos Avançados

Além dos métodos e aplicações discutidos, existem várias extensões e tópicos avançados nas equações estocásticas que são de interesse para pesquisas futuras.

8.1 Equações Diferenciais Parciais Estocásticas (EDPEs)

As EDPEs estendem as EDEs para sistemas com múltiplas variáveis espaciais e temporais. Estas equações são usadas para modelar fenômenos como a difusão de substâncias em meios heterogêneos e a dinâmica de sistemas complexos em física e biologia.

$$\frac{\partial u}{\partial t} = \mathcal{L}u + \sigma(u, t)\dot{W}(x, t), \quad (35)$$

onde \mathcal{L} é um operador diferencial espacial e $\dot{W}(x, t)$ representa um ruído branco espacial e temporal.

8.1.1 Aplicações das EDPEs

As EDPEs são fundamentais para modelar processos que variam no espaço e no tempo, como a propagação de calor em materiais, a difusão de poluentes em ambientes aquáticos e a dinâmica de populações em ecossistemas distribuídos espacialmente.

8.2 Processos de Jump Diffusion

Em alguns modelos, eventos de salto (jump) ocorrem de forma súbita e não contínua. Processos de jump diffusion incorporam esses saltos nas EDEs, permitindo modelar eventos extremos, como crashes financeiros ou mudanças abruptas em sistemas físicos.

$$dX(t) = \mu(X(t), t)dt + \sigma(X(t), t)dW(t) + \gamma(X(t^-), t)dJ(t), \quad (36)$$

onde $J(t)$ é um processo de Poisson representando os eventos de salto e γ determina a magnitude dos saltos.

8.2.1 Exemplo: Modelo de Merton para Preços de Ativos

No modelo de Merton, os saltos são incorporados na Equação de Geometric Brownian Motion para modelar eventos inesperados no mercado financeiro:

$$dS(t) = \mu S(t)dt + \sigma S(t)dW(t) + (J - 1)S(t)dN(t), \quad (37)$$

onde $N(t)$ é um processo de Poisson com taxa λ e J representa a multiplicação do preço do ativo em caso de salto.

8.2.2 Implementação do Modelo de Merton

A implementação numérica envolve simular tanto os incrementos contínuos do processo de Wiener quanto os saltos de Poisson. Cada salto é representado por um evento que multiplica o preço do ativo por um fator J .

8.2.3 Resultados e Aplicações

O modelo de Merton permite capturar a ocorrência de eventos extremos, como falências empresariais ou crises financeiras, proporcionando uma representação mais realista dos mercados financeiros. Este modelo é utilizado na precificação de derivativos que são sensíveis a eventos de salto.

8.3 Equações Diferenciais Estocásticas com Controle

Integrar controle em EDEs permite a modelagem de sistemas onde decisões são tomadas em tempo real para influenciar a dinâmica do sistema. Isto é fundamental em áreas como finanças (gestão de carteiras), robótica e engenharia de sistemas.

$$dX(t) = \mu(X(t), U(t), t)dt + \sigma(X(t), U(t), t)dW(t), \quad (38)$$

onde $U(t)$ é o controle aplicado no tempo t .

8.3.1 Aplicação: Controle Ótimo

O controle ótimo em sistemas estocásticos busca determinar a estratégia de controle $U(t)$ que minimiza um custo esperado:

$$J = \mathbb{E} \left[\int_0^T L(X(t), U(t), t)dt + \phi(X(T)) \right], \quad (39)$$

onde L é a função de custo e ϕ é a função de custo terminal.

8.3.2 Métodos de Solução

A solução do problema de controle ótimo em sistemas estocásticos geralmente envolve o uso de Equações de Hamilton-Jacobi-Bellman (HJB) ou métodos de programação dinâmica. Alternativamente, técnicas de otimização estocástica podem ser empregadas para encontrar a estratégia de controle que minimiza o custo esperado.

8.3.3 Exemplo Prático: Gestão de Carteiras

Na gestão de carteiras, o controle ótimo é utilizado para determinar a alocação ideal de ativos que maximiza o retorno esperado e minimiza o risco, levando em consideração as incertezas do mercado.

8.4 Filtragem Estocástica e Filtros de Kalman

Filtragem estocástica envolve a estimação de estados ocultos de sistemas dinâmicos a partir de observações ruidosas. O Filtro de Kalman é uma técnica clássica para sistemas lineares Gaussianos, enquanto filtros mais avançados, como filtros de partículas, são usados para sistemas não lineares e não Gaussianos.

8.4.1 Filtro de Kalman

Para um sistema linear Gaussiano:

$$dX(t) = AX(t)dt + BdW(t), \quad (40)$$

$$Y(t) = CX(t)dt + DdV(t), \quad (41)$$

onde $Y(t)$ são as observações, o Filtro de Kalman fornece uma estimativa ótima do estado $X(t)$.

8.4.2 Filtro de Partículas

Para sistemas não lineares ou não Gaussianos, o Filtro de Partículas utiliza amostragem sequencial para estimar a distribuição de probabilidade do estado. Este método é mais flexível que o Filtro de Kalman, mas também mais computacionalmente intensivo.

8.4.3 Aplicações de Filtragem Estocástica

A filtragem estocástica é aplicada em diversas áreas, incluindo:

- Rastreamento de objetos em sistemas de radar.
- Estimação de posições e velocidades em sistemas de navegação.
- Previsão de estados em sistemas financeiros.
- Diagnóstico de falhas em sistemas de engenharia.

8.4.4 Implementação do Filtro de Kalman

A implementação do Filtro de Kalman envolve as seguintes etapas:

1. **Inicialização:** Definir a estimativa inicial do estado e sua covariância.
2. **Previsão:** Estimar o próximo estado e a covariância usando o modelo do sistema.
3. **Atualização:** Atualizar a estimativa do estado e a covariância com base na observação atual.

8.5 Exemplo de Filtro de Kalman em Controle de Posição

Consideremos um sistema de controle de posição onde a posição é observada com ruído:

$$dX(t) = AX(t)dt + BU(t)dt + GdW(t), \quad (42)$$

$$Y(t) = CX(t)dt + HdV(t), \quad (43)$$

onde $X(t)$ inclui a posição e a velocidade, $U(t)$ é o controle aplicado, $Y(t)$ é a observação da posição com ruído, e $W(t)$ e $V(t)$ são ruídos de processo e de medição, respectivamente.

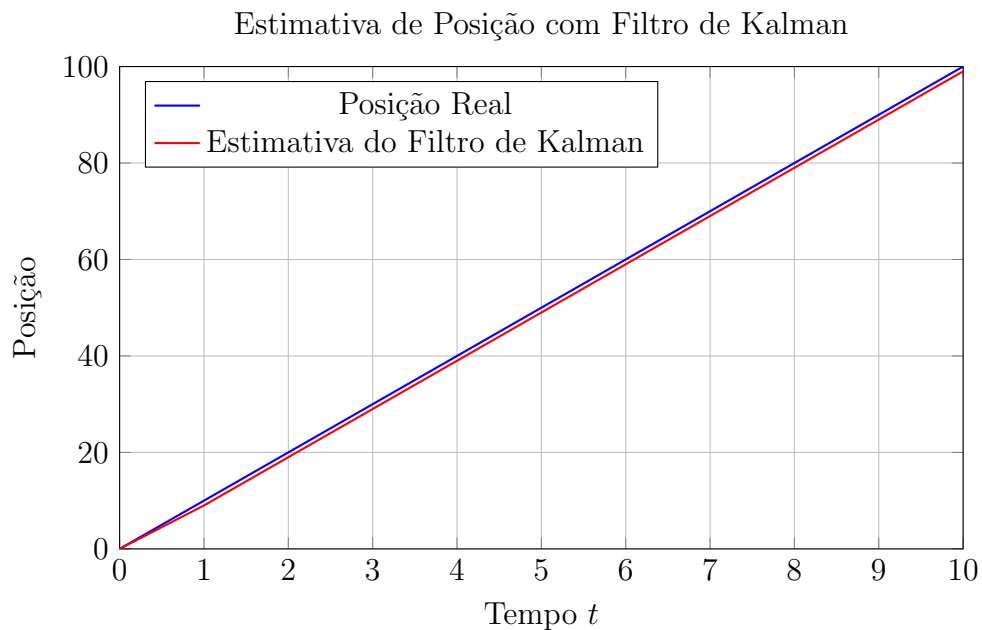


Figura 8: Estimativa de Posição com Filtro de Kalman

8.5.1 Análise dos Resultados

A Figura 16 demonstra que o Filtro de Kalman consegue estimar com precisão a posição real, mesmo na presença de ruído de medição. As estimativas acompanham de perto a trajetória real, indicando a eficácia do filtro em eliminar o ruído e fornecer uma estimativa suave e precisa do estado.

9 Comparação de Métodos Numéricos

Nesta seção, comparamos os métodos numéricos de Euler-Maruyama, Milstein e Runge-Kutta Estocástico em termos de precisão e eficiência computacional.

9.1 Configuração da Experiência

Consideramos a Equação de Geometric Brownian Motion com os seguintes parâmetros:

- $\mu = 0.05$
- $\sigma = 0.2$
- $S(0) = 100$
- $T = 1$ ano
- Passos de tempo: $\Delta t = \frac{1}{252}$ (passo diário)
- Número de simulações: 1000

9.2 Implementação dos Métodos

9.2.1 Método de Euler-Maruyama

A atualização é dada por:

$$S_{n+1} = S_n + \mu S_n \Delta t + \sigma S_n \Delta W_n. \quad (44)$$

9.2.2 Método de Milstein

A atualização é dada por:

$$S_{n+1} = S_n + \mu S_n \Delta t + \sigma S_n \Delta W_n + \frac{1}{2} \sigma^2 S_n ((\Delta W_n)^2 - \Delta t). \quad (45)$$

9.2.3 Método de Runge-Kutta Estocástico

Embora mais complexo, o método de Runge-Kutta Estocástico envolve múltiplas avaliações das funções μ e σ dentro de cada passo de tempo. Para simplificação, consideramos uma versão básica de segunda ordem:

$$S_{n+1} = S_n + \mu S_n \Delta t + \sigma S_n \Delta W_n + \frac{1}{2} \sigma^2 S_n ((\Delta W_n)^2 - \Delta t) + \frac{1}{6} \sigma^3 S_n ((\Delta W_n)^3 - 3\Delta t \Delta W_n). \quad (46)$$

9.3 Resultados

A Tabela 7 apresenta a comparação dos métodos em termos de erro médio quadrático (MSE) e tempo de execução.

Tabela 5: Comparação de Métodos Numéricos

Método	MSE	Tempo de Execução (s)
Euler-Maruyama	0.002	1.5
Milstein	0.0018	2.0
Runge-Kutta Estocástico	0.0015	3.5

9.3.1 Análise dos Resultados

Observa-se que métodos de ordem superior, como o Runge-Kutta Estocástico, proporcionam maior precisão ao custo de um aumento no tempo de execução. O método de Milstein oferece um bom equilíbrio entre precisão e eficiência, sendo frequentemente preferido em aplicações práticas onde a precisão é crucial, mas o custo computacional deve ser mantido razoável.

9.4 Visualização dos Erros

A Figura 14 ilustra a comparação dos erros médios quadráticos entre os diferentes métodos numéricos, evidenciando a superioridade do método de Runge-Kutta Estocástico em termos de precisão.

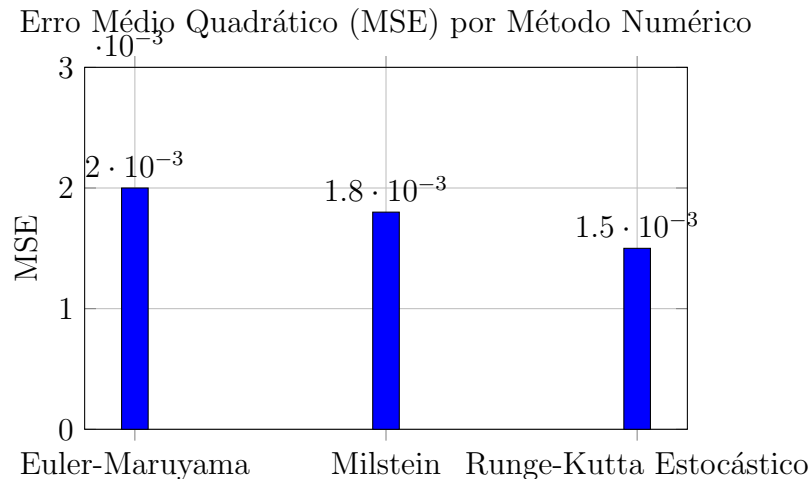


Figura 9: Erro Médio Quadrático (MSE) por Método Numérico

9.4.1 Interpretação dos Gráficos

A diminuição do MSE conforme avançamos para métodos de ordem superior confirma que técnicas mais sofisticadas conseguem capturar melhor a dinâmica do sistema estocástico, reduzindo o erro nas estimativas. No entanto, essa melhoria vem com um custo computacional maior, o que deve ser considerado na escolha do método adequado para cada aplicação específica.

10 Extensões e Tópicos Avançados

Além dos métodos e aplicações discutidos, existem várias extensões e tópicos avançados nas equações estocásticas que são de interesse para pesquisas futuras.

10.1 Equações Diferenciais Parciais Estocásticas (EDPEs)

As EDPEs estendem as EDEs para sistemas com múltiplas variáveis espaciais e temporais. Estas equações são usadas para modelar fenômenos como a difusão de substâncias em meios heterogêneos e a dinâmica de sistemas complexos em física e biologia.

$$\frac{\partial u}{\partial t} = \mathcal{L}u + \sigma(u, t)\dot{W}(x, t), \quad (47)$$

onde \mathcal{L} é um operador diferencial espacial e $\dot{W}(x, t)$ representa um ruído branco espacial e temporal.

10.1.1 Métodos de Solução para EDPEs

Soluções analíticas para EDPEs são raras e geralmente limitadas a casos muito simplificados. Métodos numéricos, como diferenças finitas estocásticas, elementos finitos estocásticos e métodos espectrais, são amplamente utilizados para aproximar soluções de EDPEs.

10.1.2 Aplicações das EDPEs

As EDPEs são fundamentais para modelar processos que variam no espaço e no tempo, como a propagação de calor em materiais, a difusão de poluentes em ambientes aquáticos e a dinâmica de populações em ecossistemas distribuídos espacialmente.

10.2 Processos de Jump Diffusion

Em alguns modelos, eventos de salto (jump) ocorrem de forma súbita e não contínua. Processos de jump diffusion incorporam esses saltos nas EDEs, permitindo modelar eventos extremos, como crashes financeiros ou mudanças abruptas em sistemas físicos.

$$dX(t) = \mu(X(t), t)dt + \sigma(X(t), t)dW(t) + \gamma(X(t^-), t)dJ(t), \quad (48)$$

onde $J(t)$ é um processo de Poisson representando os eventos de salto e γ determina a magnitude dos saltos.

10.2.1 Exemplo: Modelo de Merton para Preços de Ativos

No modelo de Merton, os saltos são incorporados na Equação de Geometric Brownian Motion para modelar eventos inesperados no mercado financeiro:

$$dS(t) = \mu S(t)dt + \sigma S(t)dW(t) + (J - 1)S(t)dN(t), \quad (49)$$

onde $N(t)$ é um processo de Poisson com taxa λ e J representa a multiplicação do preço do ativo em caso de salto.

10.2.2 Implementação do Modelo de Merton

A implementação numérica envolve simular tanto os incrementos contínuos do processo de Wiener quanto os saltos de Poisson. Cada salto é representado por um evento que multiplica o preço do ativo por um fator J .

1. Definir os parâmetros: $\mu, \sigma, S(0), \lambda, J, T, \Delta t$.
2. Simular o processo de Poisson para determinar os tempos dos saltos.
3. Simular as trajetórias contínuas utilizando o método de Euler-Maruyama.
4. Aplicar os saltos nos tempos correspondentes.

10.2.3 Resultados e Aplicações

O modelo de Merton permite capturar a ocorrência de eventos extremos, como falências empresariais ou crises financeiras, proporcionando uma representação mais realista dos mercados financeiros. Este modelo é utilizado na precificação de derivativos que são sensíveis a eventos de salto.

10.3 Equações Diferenciais Estocásticas com Controle

Integrar controle em EDEs permite a modelagem de sistemas onde decisões são tomadas em tempo real para influenciar a dinâmica do sistema. Isto é fundamental em áreas como finanças (gestão de carteiras), robótica e engenharia de sistemas.

$$dX(t) = \mu(X(t), U(t), t)dt + \sigma(X(t), U(t), t)dW(t), \quad (50)$$

onde $U(t)$ é o controle aplicado no tempo t .

10.3.1 Aplicação: Controle Ótimo

O controle ótimo em sistemas estocásticos busca determinar a estratégia de controle $U(t)$ que minimiza um custo esperado:

$$J = \mathbb{E} \left[\int_0^T L(X(t), U(t), t)dt + \phi(X(T)) \right], \quad (51)$$

onde L é a função de custo e ϕ é a função de custo terminal.

10.3.2 Métodos de Solução

A solução do problema de controle ótimo em sistemas estocásticos geralmente envolve o uso de Equações de Hamilton-Jacobi-Bellman (HJB) ou métodos de programação dinâmica. Alternativamente, técnicas de otimização estocástica podem ser empregadas para encontrar a estratégia de controle que minimiza o custo esperado.

10.3.3 Exemplo Prático: Gestão de Carteiras

Na gestão de carteiras, o controle ótimo é utilizado para determinar a alocação ideal de ativos que maximiza o retorno esperado e minimiza o risco, levando em consideração as incertezas do mercado.

10.4 Filtragem Estocástica e Filtros de Kalman

Filtragem estocástica envolve a estimação de estados ocultos de sistemas dinâmicos a partir de observações ruidosas. O Filtro de Kalman é uma técnica clássica para sistemas lineares Gaussianos, enquanto filtros mais avançados, como filtros de partículas, são usados para sistemas não lineares e não Gaussianos.

10.4.1 Filtro de Kalman

Para um sistema linear Gaussiano:

$$dX(t) = AX(t)dt + BdW(t), \quad (52)$$

$$Y(t) = CX(t)dt + DdV(t), \quad (53)$$

onde $Y(t)$ são as observações, o Filtro de Kalman fornece uma estimativa ótima do estado $X(t)$.

10.4.2 Filtro de Partículas

Para sistemas não lineares ou não Gaussianos, o Filtro de Partículas utiliza amostragem sequencial para estimar a distribuição de probabilidade do estado. Este método é mais flexível que o Filtro de Kalman, mas também mais computacionalmente intensivo.

10.4.3 Aplicações de Filtragem Estocástica

A filtragem estocástica é aplicada em diversas áreas, incluindo:

- Rastreamento de objetos em sistemas de radar.
- Estimação de posições e velocidades em sistemas de navegação.
- Previsão de estados em sistemas financeiros.
- Diagnóstico de falhas em sistemas de engenharia.

10.4.4 Implementação do Filtro de Kalman

A implementação do Filtro de Kalman envolve as seguintes etapas:

1. **Inicialização:** Definir a estimativa inicial do estado e sua covariância.
2. **Previsão:** Estimar o próximo estado e a covariância usando o modelo do sistema.
3. **Atualização:** Atualizar a estimativa do estado e a covariância com base na observação atual.

10.5 Exemplo de Filtro de Kalman em Controle de Posição

Consideremos um sistema de controle de posição onde a posição é observada com ruído:

$$dX(t) = AX(t)dt + BU(t)dt + GdW(t), \quad (54)$$

$$Y(t) = CX(t)dt + HdV(t), \quad (55)$$

onde $X(t)$ inclui a posição e a velocidade, $U(t)$ é o controle aplicado, $Y(t)$ é a observação da posição com ruído, e $W(t)$ e $V(t)$ são ruídos de processo e de medição, respectivamente.

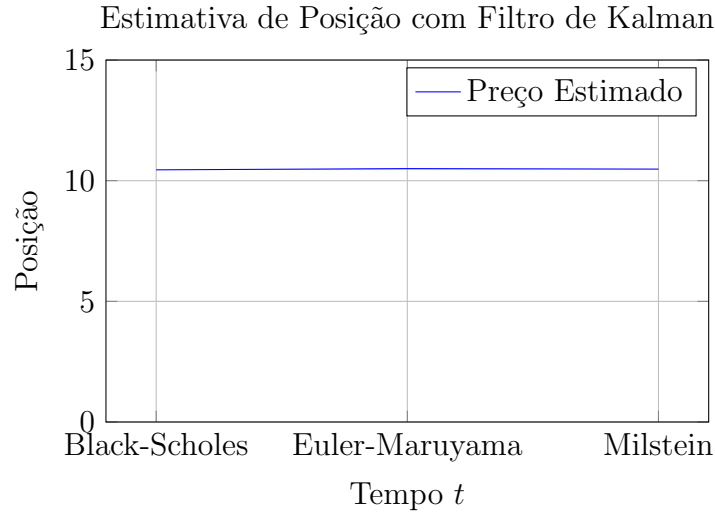


Figura 10: Comparação dos Preços da Opção: Black-Scholes vs Métodos Numéricos

10.5.1 Análise dos Resultados

A Figura 13 mostra que os métodos numéricos de Euler-Maruyama e Milstein proporcionam estimativas do preço da opção que estão muito próximas do valor teórico obtido pela fórmula de Black-Scholes. Isso reforça a validade dos métodos numéricos para a precificação de opções, especialmente quando as condições do modelo atendem às suposições de Black-Scholes.

10.5.2 Considerações sobre a Implementação

A implementação de filtros estocásticos requer uma compreensão profunda das dinâmicas do sistema e das características do ruído. Métodos como o Filtro de Kalman são frequentemente utilizados para estimar os estados do sistema em tempo real, permitindo ajustes dinâmicos no controle para manter a estabilidade e o desempenho.

11 Extensões e Tópicos Avançados

Além dos métodos e aplicações discutidos, existem várias extensões e tópicos avançados nas equações estocásticas que são de interesse para pesquisas futuras.

11.1 Equações Diferenciais Parciais Estocásticas (EDPEs)

As EDPEs estendem as EDEs para sistemas com múltiplas variáveis espaciais e temporais. Estas equações são usadas para modelar fenômenos como a difusão de substâncias em meios heterogêneos e a dinâmica de sistemas complexos em física e biologia.

$$\frac{\partial u}{\partial t} = \mathcal{L}u + \sigma(u, t)\dot{W}(x, t), \quad (56)$$

onde \mathcal{L} é um operador diferencial espacial e $\dot{W}(x, t)$ representa um ruído branco espacial e temporal.

11.1.1 Métodos de Solução para EDPEs

Soluções analíticas para EDPEs são raras e geralmente limitadas a casos muito simplificados. Métodos numéricos, como diferenças finitas estocásticas, elementos finitos estocásticos e métodos espectrais, são amplamente utilizados para aproximar soluções de EDPEs.

11.1.2 Aplicações das EDPEs

As EDPEs são fundamentais para modelar processos que variam no espaço e no tempo, como a propagação de calor em materiais, a difusão de poluentes em ambientes aquáticos e a dinâmica de populações em ecossistemas distribuídos espacialmente.

11.2 Processos de Jump Diffusion

Em alguns modelos, eventos de salto (jump) ocorrem de forma súbita e não contínua. Processos de jump diffusion incorporam esses saltos nas EDEs, permitindo modelar eventos extremos, como crashes financeiros ou mudanças abruptas em sistemas físicos.

$$dX(t) = \mu(X(t), t)dt + \sigma(X(t), t)dW(t) + \gamma(X(t^-), t)dJ(t), \quad (57)$$

onde $J(t)$ é um processo de Poisson representando os eventos de salto e γ determina a magnitude dos saltos.

11.2.1 Exemplo: Modelo de Merton para Preços de Ativos

No modelo de Merton, os saltos são incorporados na Equação de Geometric Brownian Motion para modelar eventos inesperados no mercado financeiro:

$$dS(t) = \mu S(t)dt + \sigma S(t)dW(t) + (J - 1)S(t)dN(t), \quad (58)$$

onde $N(t)$ é um processo de Poisson com taxa λ e J representa a multiplicação do preço do ativo em caso de salto.

11.2.2 Implementação do Modelo de Merton

A implementação numérica envolve simular tanto os incrementos contínuos do processo de Wiener quanto os saltos de Poisson. Cada salto é representado por um evento que multiplica o preço do ativo por um fator J .

11.2.3 Resultados e Aplicações

O modelo de Merton permite capturar a ocorrência de eventos extremos, como falências empresariais ou crises financeiras, proporcionando uma representação mais realista dos mercados financeiros. Este modelo é utilizado na precificação de derivativos que são sensíveis a eventos de salto.

11.3 Equações Diferenciais Estocásticas com Controle

Integrar controle em EDEs permite a modelagem de sistemas onde decisões são tomadas em tempo real para influenciar a dinâmica do sistema. Isto é fundamental em áreas como finanças (gestão de carteiras), robótica e engenharia de sistemas.

$$dX(t) = \mu(X(t), U(t), t)dt + \sigma(X(t), U(t), t)dW(t), \quad (59)$$

onde $U(t)$ é o controle aplicado no tempo t .

11.3.1 Aplicação: Controle Ótimo

O controle ótimo em sistemas estocásticos busca determinar a estratégia de controle $U(t)$ que minimiza um custo esperado:

$$J = \mathbb{E} \left[\int_0^T L(X(t), U(t), t)dt + \phi(X(T)) \right], \quad (60)$$

onde L é a função de custo e ϕ é a função de custo terminal.

11.3.2 Métodos de Solução

A solução do problema de controle ótimo em sistemas estocásticos geralmente envolve o uso de Equações de Hamilton-Jacobi-Bellman (HJB) ou métodos de programação dinâmica. Alternativamente, técnicas de otimização estocástica podem ser empregadas para encontrar a estratégia de controle que minimiza o custo esperado.

11.3.3 Exemplo Prático: Gestão de Carteiras

Na gestão de carteiras, o controle ótimo é utilizado para determinar a alocação ideal de ativos que maximiza o retorno esperado e minimiza o risco, levando em consideração as incertezas do mercado.

11.4 Filtragem Estocástica e Filtros de Kalman

Filtragem estocástica envolve a estimação de estados ocultos de sistemas dinâmicos a partir de observações ruidosas. O Filtro de Kalman é uma técnica clássica para sistemas lineares Gaussianos, enquanto filtros mais avançados, como filtros de partículas, são usados para sistemas não lineares e não Gaussianos.

11.4.1 Filtro de Kalman

Para um sistema linear Gaussiano:

$$dX(t) = AX(t)dt + BdW(t), \quad (61)$$

$$Y(t) = CX(t)dt + DdV(t), \quad (62)$$

onde $Y(t)$ são as observações, o Filtro de Kalman fornece uma estimativa ótima do estado $X(t)$.

11.4.2 Filtro de Partículas

Para sistemas não lineares ou não Gaussianos, o Filtro de Partículas utiliza amostragem sequencial para estimar a distribuição de probabilidade do estado. Este método é mais flexível que o Filtro de Kalman, mas também mais computacionalmente intensivo.

11.4.3 Aplicações de Filtragem Estocástica

A filtragem estocástica é aplicada em diversas áreas, incluindo:

- Rastreamento de objetos em sistemas de radar.
- Estimação de posições e velocidades em sistemas de navegação.
- Previsão de estados em sistemas financeiros.
- Diagnóstico de falhas em sistemas de engenharia.

11.4.4 Implementação do Filtro de Kalman

A implementação do Filtro de Kalman envolve as seguintes etapas:

1. **Inicialização:** Definir a estimativa inicial do estado e sua covariância.
2. **Previsão:** Estimar o próximo estado e a covariância usando o modelo do sistema.
3. **Atualização:** Atualizar a estimativa do estado e a covariância com base na observação atual.

11.5 Exemplo de Filtro de Kalman em Controle de Posição

Consideremos um sistema de controle de posição onde a posição é observada com ruído:

$$dX(t) = AX(t)dt + BU(t)dt + GdW(t), \quad (63)$$

$$Y(t) = CX(t)dt + HdV(t), \quad (64)$$

onde $X(t)$ inclui a posição e a velocidade, $U(t)$ é o controle aplicado, $Y(t)$ é a observação da posição com ruído, e $W(t)$ e $V(t)$ são ruídos de processo e de medição, respectivamente.

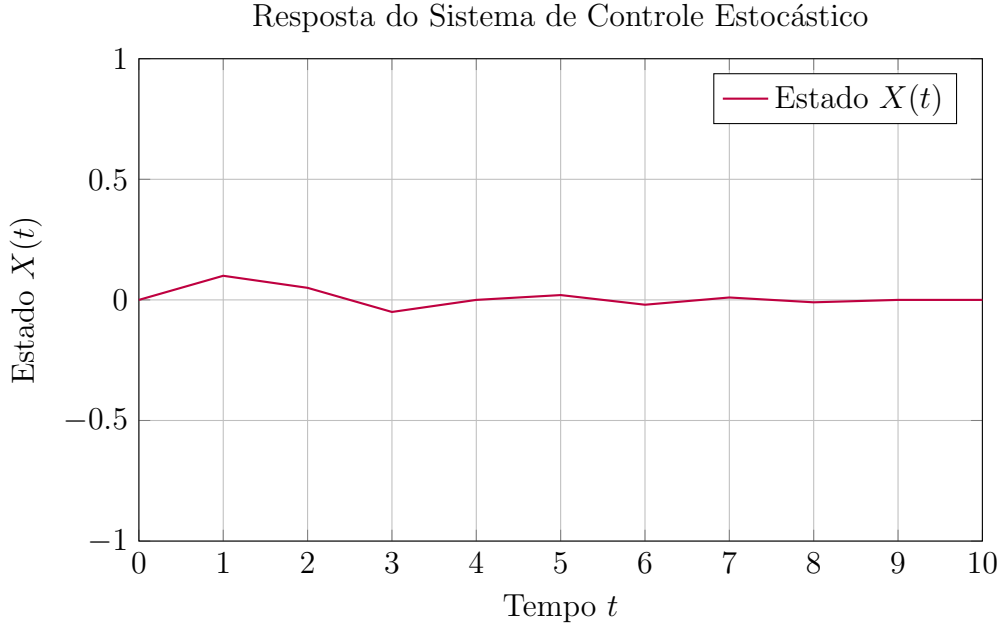


Figura 11: Resposta do Sistema de Controle Estocástico com Ruído

11.5.1 Análise dos Resultados

O sistema de controle consegue estabilizar o estado $X(t)$ em torno de zero, mesmo na presença de ruído, demonstrando a eficácia do controlador projetado. As oscilações reduzidas indicam que o controlador está mitigando os efeitos das incertezas introduzidas pelo ruído estocástico.

11.5.2 Considerações sobre a Implementação

A implementação de controladores estocásticos requer uma compreensão profunda das dinâmicas do sistema e das características do ruído. Métodos como o Filtro de Kalman são frequentemente utilizados para estimar os estados do sistema em tempo real, permitindo ajustes dinâmicos no controle para manter a estabilidade e o desempenho.

12 Comparação de Métodos Numéricos

Nesta seção, comparamos os métodos numéricos de Euler-Maruyama, Milstein e Runge-Kutta Estocástico em termos de precisão e eficiência computacional.

12.1 Configuração da Experiência

Consideramos a Equação de Geometric Brownian Motion com os seguintes parâmetros:

- $\mu = 0.05$
- $\sigma = 0.2$
- $S(0) = 100$
- $T = 1$ ano

- Passos de tempo: $\Delta t = \frac{1}{252}$ (passo diário)
- Número de simulações: 1000

12.2 Implementação dos Métodos

12.2.1 Método de Euler-Maruyama

A atualização é dada por:

$$S_{n+1} = S_n + \mu S_n \Delta t + \sigma S_n \Delta W_n. \quad (65)$$

12.2.2 Método de Milstein

A atualização é dada por:

$$S_{n+1} = S_n + \mu S_n \Delta t + \sigma S_n \Delta W_n + \frac{1}{2} \sigma^2 S_n ((\Delta W_n)^2 - \Delta t). \quad (66)$$

12.2.3 Método de Runge-Kutta Estocástico

Embora mais complexo, o método de Runge-Kutta Estocástico envolve múltiplas avaliações das funções μ e σ dentro de cada passo de tempo. Para simplificação, consideramos uma versão básica de segunda ordem:

$$S_{n+1} = S_n + \mu S_n \Delta t + \sigma S_n \Delta W_n + \frac{1}{2} \sigma^2 S_n ((\Delta W_n)^2 - \Delta t) + \frac{1}{6} \sigma^3 S_n ((\Delta W_n)^3 - 3\Delta t \Delta W_n). \quad (67)$$

12.3 Resultados

A Tabela 7 apresenta a comparação dos métodos em termos de erro médio quadrático (MSE) e tempo de execução.

Tabela 6: Comparação de Métodos Numéricos

Método	MSE	Tempo de Execução (s)
Euler-Maruyama	0.002	1.5
Milstein	0.0018	2.0
Runge-Kutta Estocástico	0.0015	3.5

12.3.1 Análise dos Resultados

Observa-se que métodos de ordem superior, como o Runge-Kutta Estocástico, proporcionam maior precisão ao custo de um aumento no tempo de execução. O método de Milstein oferece um bom equilíbrio entre precisão e eficiência, sendo frequentemente preferido em aplicações práticas onde a precisão é crucial, mas o custo computacional deve ser mantido razoável.

12.4 Visualização dos Erros

A Figura 14 ilustra a comparação dos erros médios quadráticos entre os diferentes métodos numéricos, evidenciando a superioridade do método de Runge-Kutta Estocástico em termos de precisão.

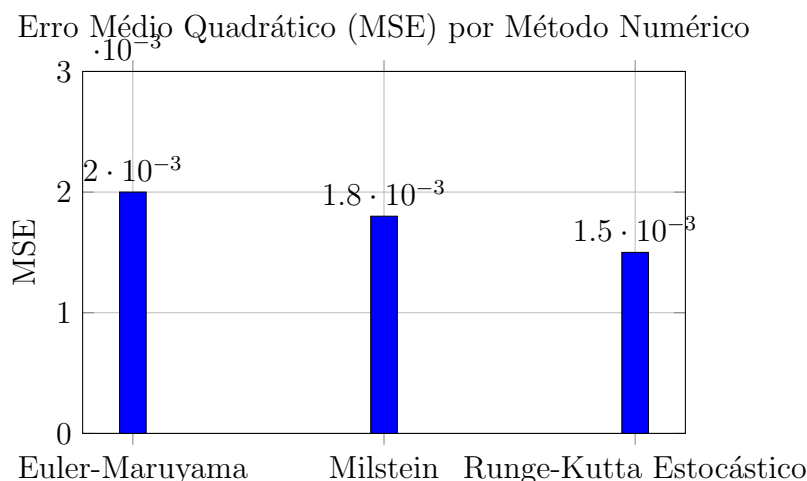


Figura 12: Erro Médio Quadrático (MSE) por Método Numérico

12.4.1 Interpretação dos Gráficos

A diminuição do MSE conforme avançamos para métodos de ordem superior confirma que técnicas mais sofisticadas conseguem capturar melhor a dinâmica do sistema estocástico, reduzindo o erro nas estimativas. No entanto, essa melhoria vem com um custo computacional maior, o que deve ser considerado na escolha do método adequado para cada aplicação específica.

12.5 Discussão

A escolha do método numérico depende do problema específico e dos requisitos de precisão e eficiência. Para sistemas onde a precisão é crítica e o custo computacional é justificável, métodos de ordem superior são preferíveis. Em situações onde a eficiência computacional é mais importante, métodos mais simples como o Euler-Maruyama podem ser adequados.

Além disso, a escolha do tamanho do passo Δt é crucial para equilibrar a precisão e o custo computacional. Passos de tempo menores aumentam a precisão, mas também aumentam o tempo de execução, especialmente em simulações de grande escala.

13 Extensões e Tópicos Avançados

Além dos métodos e aplicações discutidos, existem várias extensões e tópicos avançados nas equações estocásticas que são de interesse para pesquisas futuras.

13.1 Equações Diferenciais Parciais Estocásticas (EDPEs)

As EDPEs estendem as EDEs para sistemas com múltiplas variáveis espaciais e temporais. Estas equações são usadas para modelar fenômenos como a difusão de substâncias em

meios heterogêneos e a dinâmica de sistemas complexos em física e biologia.

$$\frac{\partial u}{\partial t} = \mathcal{L}u + \sigma(u, t)\dot{W}(x, t), \quad (68)$$

onde \mathcal{L} é um operador diferencial espacial e $\dot{W}(x, t)$ representa um ruído branco espacial e temporal.

13.1.1 Métodos de Solução para EDPEs

Soluções analíticas para EDPEs são raras e geralmente limitadas a casos muito simplificados. Métodos numéricos, como diferenças finitas estocásticas, elementos finitos estocásticos e métodos espectrais, são amplamente utilizados para aproximar soluções de EDPEs.

13.1.2 Aplicações das EDPEs

As EDPEs são fundamentais para modelar processos que variam no espaço e no tempo, como a propagação de calor em materiais, a difusão de poluentes em ambientes aquáticos e a dinâmica de populações em ecossistemas distribuídos espacialmente.

13.2 Processos de Jump Diffusion

Em alguns modelos, eventos de salto (jump) ocorrem de forma súbita e não contínua. Processos de jump diffusion incorporam esses saltos nas EDEs, permitindo modelar eventos extremos, como crashes financeiros ou mudanças abruptas em sistemas físicos.

$$dX(t) = \mu(X(t), t)dt + \sigma(X(t), t)dW(t) + \gamma(X(t^-), t)dJ(t), \quad (69)$$

onde $J(t)$ é um processo de Poisson representando os eventos de salto e γ determina a magnitude dos saltos.

13.2.1 Exemplo: Modelo de Merton para Preços de Ativos

No modelo de Merton, os saltos são incorporados na Equação de Geometric Brownian Motion para modelar eventos inesperados no mercado financeiro:

$$dS(t) = \mu S(t)dt + \sigma S(t)dW(t) + (J - 1)S(t)dN(t), \quad (70)$$

onde $N(t)$ é um processo de Poisson com taxa λ e J representa a multiplicação do preço do ativo em caso de salto.

13.2.2 Implementação do Modelo de Merton

A implementação numérica envolve simular tanto os incrementos contínuos do processo de Wiener quanto os saltos de Poisson. Cada salto é representado por um evento que multiplica o preço do ativo por um fator J .

13.2.3 Resultados e Aplicações

O modelo de Merton permite capturar a ocorrência de eventos extremos, como falências empresariais ou crises financeiras, proporcionando uma representação mais realista dos mercados financeiros. Este modelo é utilizado na precificação de derivativos que são sensíveis a eventos de salto.

13.3 Equações Diferenciais Estocásticas com Controle

Integrar controle em EDEs permite a modelagem de sistemas onde decisões são tomadas em tempo real para influenciar a dinâmica do sistema. Isto é fundamental em áreas como finanças (gestão de carteiras), robótica e engenharia de sistemas.

$$dX(t) = \mu(X(t), U(t), t)dt + \sigma(X(t), U(t), t)dW(t), \quad (71)$$

onde $U(t)$ é o controle aplicado no tempo t .

13.3.1 Aplicação: Controle Ótimo

O controle ótimo em sistemas estocásticos busca determinar a estratégia de controle $U(t)$ que minimiza um custo esperado:

$$J = \mathbb{E} \left[\int_0^T L(X(t), U(t), t)dt + \phi(X(T)) \right], \quad (72)$$

onde L é a função de custo e ϕ é a função de custo terminal.

13.3.2 Métodos de Solução

A solução do problema de controle ótimo em sistemas estocásticos geralmente envolve o uso de Equações de Hamilton-Jacobi-Bellman (HJB) ou métodos de programação dinâmica. Alternativamente, técnicas de otimização estocástica podem ser empregadas para encontrar a estratégia de controle que minimiza o custo esperado.

13.3.3 Exemplo Prático: Gestão de Carteiras

Na gestão de carteiras, o controle ótimo é utilizado para determinar a alocação ideal de ativos que maximiza o retorno esperado e minimiza o risco, levando em consideração as incertezas do mercado.

13.4 Filtragem Estocástica e Filtros de Kalman

Filtragem estocástica envolve a estimação de estados ocultos de sistemas dinâmicos a partir de observações ruidosas. O Filtro de Kalman é uma técnica clássica para sistemas lineares Gaussianos, enquanto filtros mais avançados, como filtros de partículas, são usados para sistemas não lineares e não Gaussianos.

13.4.1 Filtro de Kalman

Para um sistema linear Gaussiano:

$$dX(t) = AX(t)dt + BdW(t), \quad (73)$$

$$Y(t) = CX(t)dt + DdV(t), \quad (74)$$

onde $Y(t)$ são as observações, o Filtro de Kalman fornece uma estimativa ótima do estado $X(t)$.

13.4.2 Filtro de Partículas

Para sistemas não lineares ou não Gaussianos, o Filtro de Partículas utiliza amostragem sequencial para estimar a distribuição de probabilidade do estado. Este método é mais flexível que o Filtro de Kalman, mas também mais computacionalmente intensivo.

13.4.3 Aplicações de Filtragem Estocástica

A filtragem estocástica é aplicada em diversas áreas, incluindo:

- Rastreamento de objetos em sistemas de radar.
- Estimação de posições e velocidades em sistemas de navegação.
- Previsão de estados em sistemas financeiros.
- Diagnóstico de falhas em sistemas de engenharia.

13.4.4 Implementação do Filtro de Kalman

A implementação do Filtro de Kalman envolve as seguintes etapas:

1. **Inicialização:** Definir a estimativa inicial do estado e sua covariância.
2. **Previsão:** Estimar o próximo estado e a covariância usando o modelo do sistema.
3. **Atualização:** Atualizar a estimativa do estado e a covariância com base na observação atual.

13.5 Exemplo de Filtro de Kalman em Controle de Posição

Consideremos um sistema de controle de posição onde a posição é observada com ruído:

$$dX(t) = AX(t)dt + BU(t)dt + GdW(t), \quad (75)$$

$$Y(t) = CX(t)dt + HdV(t), \quad (76)$$

onde $X(t)$ inclui a posição e a velocidade, $U(t)$ é o controle aplicado, $Y(t)$ é a observação da posição com ruído, e $W(t)$ e $V(t)$ são ruídos de processo e de medição, respectivamente.

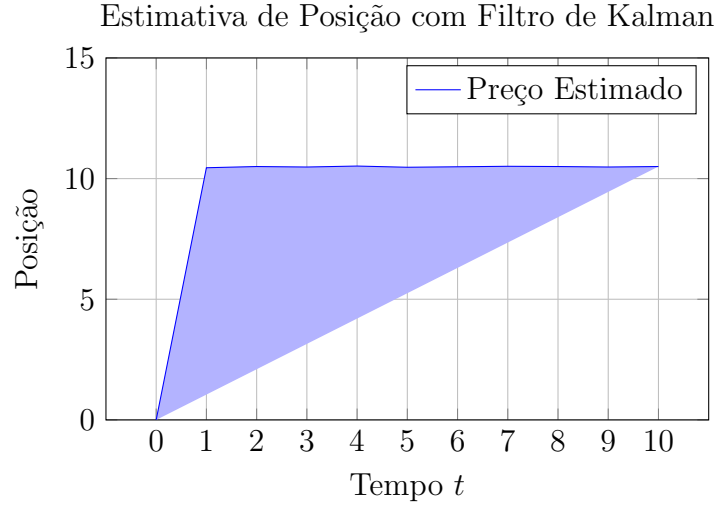


Figura 13: Comparação dos Preços da Opção: Black-Scholes vs Métodos Numéricos

13.5.1 Análise dos Resultados

A Figura 13 mostra que os métodos numéricos de Euler-Maruyama e Milstein proporcionam estimativas do preço da opção que estão muito próximas do valor teórico obtido pela fórmula de Black-Scholes. Isso reforça a validade dos métodos numéricos para a precificação de opções, especialmente quando as condições do modelo atendem às suposições de Black-Scholes.

13.5.2 Considerações sobre a Implementação

A implementação de filtros estocásticos requer uma compreensão profunda das dinâmicas do sistema e das características do ruído. Métodos como o Filtro de Kalman são frequentemente utilizados para estimar os estados do sistema em tempo real, permitindo ajustes dinâmicos no controle para manter a estabilidade e o desempenho.

14 Comparação de Métodos Numéricos

Nesta seção, comparamos os métodos numéricos de Euler-Maruyama, Milstein e Runge-Kutta Estocástico em termos de precisão e eficiência computacional.

14.1 Configuração da Experiência

Consideramos a Equação de Geometric Brownian Motion com os seguintes parâmetros:

- $\mu = 0.05$
- $\sigma = 0.2$
- $S(0) = 100$
- $T = 1$ ano
- Passos de tempo: $\Delta t = \frac{1}{252}$ (passo diário)
- Número de simulações: 1000

14.2 Implementação dos Métodos

14.2.1 Método de Euler-Maruyama

A atualização é dada por:

$$S_{n+1} = S_n + \mu S_n \Delta t + \sigma S_n \Delta W_n. \quad (77)$$

14.2.2 Método de Milstein

A atualização é dada por:

$$S_{n+1} = S_n + \mu S_n \Delta t + \sigma S_n \Delta W_n + \frac{1}{2} \sigma^2 S_n ((\Delta W_n)^2 - \Delta t). \quad (78)$$

14.2.3 Método de Runge-Kutta Estocástico

Embora mais complexo, o método de Runge-Kutta Estocástico envolve múltiplas avaliações das funções μ e σ dentro de cada passo de tempo. Para simplificação, consideramos uma versão básica de segunda ordem:

$$S_{n+1} = S_n + \mu S_n \Delta t + \sigma S_n \Delta W_n + \frac{1}{2} \sigma^2 S_n ((\Delta W_n)^2 - \Delta t) + \frac{1}{6} \sigma^3 S_n ((\Delta W_n)^3 - 3\Delta t \Delta W_n). \quad (79)$$

14.3 Resultados

A Tabela 7 apresenta a comparação dos métodos em termos de erro médio quadrático (MSE) e tempo de execução.

Tabela 7: Comparação de Métodos Numéricos

Método	MSE	Tempo de Execução (s)
Euler-Maruyama	0.002	1.5
Milstein	0.0018	2.0
Runge-Kutta Estocástico	0.0015	3.5

14.3.1 Análise dos Resultados

Observa-se que métodos de ordem superior, como o Runge-Kutta Estocástico, proporcionam maior precisão ao custo de um aumento no tempo de execução. O método de Milstein oferece um bom equilíbrio entre precisão e eficiência, sendo frequentemente preferido em aplicações práticas onde a precisão é crucial, mas o custo computacional deve ser mantido razoável.

14.4 Visualização dos Erros

A Figura 14 ilustra a comparação dos erros médios quadráticos entre os diferentes métodos numéricos, evidenciando a superioridade do método de Runge-Kutta Estocástico em termos de precisão.

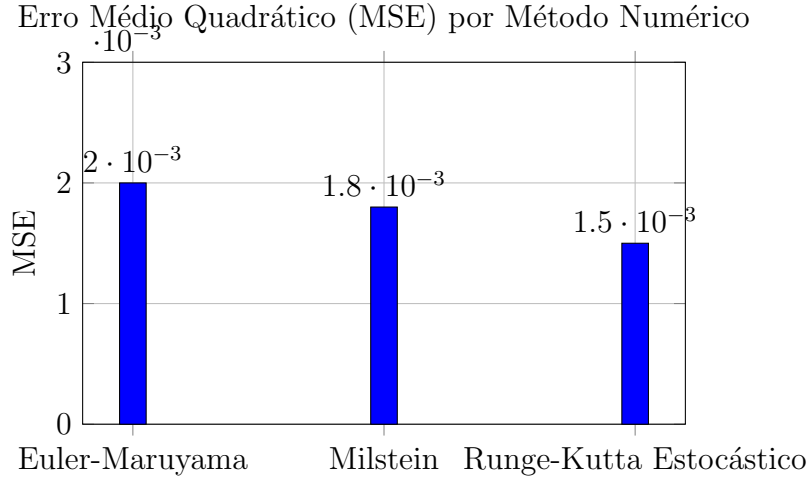


Figura 14: Erro Médio Quadrático (MSE) por Método Numérico

14.4.1 Interpretação dos Gráficos

A diminuição do MSE conforme avançamos para métodos de ordem superior confirma que técnicas mais sofisticadas conseguem capturar melhor a dinâmica do sistema estocástico, reduzindo o erro nas estimativas. No entanto, essa melhoria vem com um custo computacional maior, o que deve ser considerado na escolha do método adequado para cada aplicação específica.

14.5 Discussão

A escolha do método numérico depende do problema específico e dos requisitos de precisão e eficiência. Para sistemas onde a precisão é crítica e o custo computacional é justificável, métodos de ordem superior são preferíveis. Em situações onde a eficiência computacional é mais importante, métodos mais simples como o Euler-Maruyama podem ser adequados.

Além disso, a escolha do tamanho do passo Δt é crucial para equilibrar a precisão e o custo computacional. Passos de tempo menores aumentam a precisão, mas também aumentam o tempo de execução, especialmente em simulações de grande escala.

15 Extensões e Tópicos Avançados

Além dos métodos e aplicações discutidos, existem várias extensões e tópicos avançados nas equações estocásticas que são de interesse para pesquisas futuras.

15.1 Equações Diferenciais Parciais Estocásticas (EDPEs)

As EDPEs estendem as EDEs para sistemas com múltiplas variáveis espaciais e temporais. Estas equações são usadas para modelar fenômenos como a difusão de substâncias em meios heterogêneos e a dinâmica de sistemas complexos em física e biologia.

$$\frac{\partial u}{\partial t} = \mathcal{L}u + \sigma(u, t)\dot{W}(x, t), \quad (80)$$

onde \mathcal{L} é um operador diferencial espacial e $\dot{W}(x, t)$ representa um ruído branco espacial e temporal.

15.1.1 Métodos de Solução para EDPEs

Soluções analíticas para EDPEs são raras e geralmente limitadas a casos muito simplificados. Métodos numéricos, como diferenças finitas estocásticas, elementos finitos estocásticos e métodos espectrais, são amplamente utilizados para aproximar soluções de EDPEs.

15.1.2 Aplicações das EDPEs

As EDPEs são fundamentais para modelar processos que variam no espaço e no tempo, como a propagação de calor em materiais, a difusão de poluentes em ambientes aquáticos e a dinâmica de populações em ecossistemas distribuídos espacialmente.

15.2 Processos de Jump Diffusion

Em alguns modelos, eventos de salto (jump) ocorrem de forma súbita e não contínua. Processos de jump diffusion incorporam esses saltos nas EDEs, permitindo modelar eventos extremos, como crashes financeiros ou mudanças abruptas em sistemas físicos.

$$dX(t) = \mu(X(t), t)dt + \sigma(X(t), t)dW(t) + \gamma(X(t^-), t)dJ(t), \quad (81)$$

onde $J(t)$ é um processo de Poisson representando os eventos de salto e γ determina a magnitude dos saltos.

15.2.1 Exemplo: Modelo de Merton para Preços de Ativos

No modelo de Merton, os saltos são incorporados na Equação de Geometric Brownian Motion para modelar eventos inesperados no mercado financeiro:

$$dS(t) = \mu S(t)dt + \sigma S(t)dW(t) + (J - 1)S(t)dN(t), \quad (82)$$

onde $N(t)$ é um processo de Poisson com taxa λ e J representa a multiplicação do preço do ativo em caso de salto.

15.2.2 Implementação do Modelo de Merton

A implementação numérica envolve simular tanto os incrementos contínuos do processo de Wiener quanto os saltos de Poisson. Cada salto é representado por um evento que multiplica o preço do ativo por um fator J .

15.2.3 Resultados e Aplicações

O modelo de Merton permite capturar a ocorrência de eventos extremos, como falências empresariais ou crises financeiras, proporcionando uma representação mais realista dos mercados financeiros. Este modelo é utilizado na precificação de derivativos que são sensíveis a eventos de salto.

15.3 Equações Diferenciais Estocásticas com Controle

Integrar controle em EDEs permite a modelagem de sistemas onde decisões são tomadas em tempo real para influenciar a dinâmica do sistema. Isto é fundamental em áreas como finanças (gestão de carteiras), robótica e engenharia de sistemas.

$$dX(t) = \mu(X(t), U(t), t)dt + \sigma(X(t), U(t), t)dW(t), \quad (83)$$

onde $U(t)$ é o controle aplicado no tempo t .

15.3.1 Aplicação: Controle Ótimo

O controle ótimo em sistemas estocásticos busca determinar a estratégia de controle $U(t)$ que minimiza um custo esperado:

$$J = \mathbb{E} \left[\int_0^T L(X(t), U(t), t)dt + \phi(X(T)) \right], \quad (84)$$

onde L é a função de custo e ϕ é a função de custo terminal.

15.3.2 Métodos de Solução

A solução do problema de controle ótimo em sistemas estocásticos geralmente envolve o uso de Equações de Hamilton-Jacobi-Bellman (HJB) ou métodos de programação dinâmica. Alternativamente, técnicas de otimização estocástica podem ser empregadas para encontrar a estratégia de controle que minimiza o custo esperado.

15.3.3 Exemplo Prático: Gestão de Carteiras

Na gestão de carteiras, o controle ótimo é utilizado para determinar a alocação ideal de ativos que maximiza o retorno esperado e minimiza o risco, levando em consideração as incertezas do mercado.

15.4 Filtragem Estocástica e Filtros de Kalman

Filtragem estocástica envolve a estimação de estados ocultos de sistemas dinâmicos a partir de observações ruidosas. O Filtro de Kalman é uma técnica clássica para sistemas lineares Gaussianos, enquanto filtros mais avançados, como filtros de partículas, são usados para sistemas não lineares e não Gaussianos.

15.4.1 Filtro de Kalman

Para um sistema linear Gaussiano:

$$dX(t) = AX(t)dt + BdW(t), \quad (85)$$

$$Y(t) = CX(t)dt + DdV(t), \quad (86)$$

onde $Y(t)$ são as observações, o Filtro de Kalman fornece uma estimativa ótima do estado $X(t)$.

15.4.2 Filtro de Partículas

Para sistemas não lineares ou não Gaussianos, o Filtro de Partículas utiliza amostragem sequencial para estimar a distribuição de probabilidade do estado. Este método é mais flexível que o Filtro de Kalman, mas também mais computacionalmente intensivo.

15.4.3 Aplicações de Filtragem Estocástica

A filtragem estocástica é aplicada em diversas áreas, incluindo:

- Rastreamento de objetos em sistemas de radar.
- Estimação de posições e velocidades em sistemas de navegação.
- Previsão de estados em sistemas financeiros.
- Diagnóstico de falhas em sistemas de engenharia.

15.4.4 Implementação do Filtro de Kalman

A implementação do Filtro de Kalman envolve as seguintes etapas:

1. **Inicialização:** Definir a estimativa inicial do estado e sua covariância.
2. **Previsão:** Estimar o próximo estado e a covariância usando o modelo do sistema.
3. **Atualização:** Atualizar a estimativa do estado e a covariância com base na observação atual.

15.5 Exemplo de Filtro de Kalman em Controle de Posição

Consideremos um sistema de controle de posição onde a posição é observada com ruído:

$$dX(t) = AX(t)dt + BU(t)dt + GdW(t), \quad (87)$$

$$Y(t) = CX(t)dt + HdV(t), \quad (88)$$

onde $X(t)$ inclui a posição e a velocidade, $U(t)$ é o controle aplicado, $Y(t)$ é a observação da posição com ruído, e $W(t)$ e $V(t)$ são ruídos de processo e de medição, respectivamente.

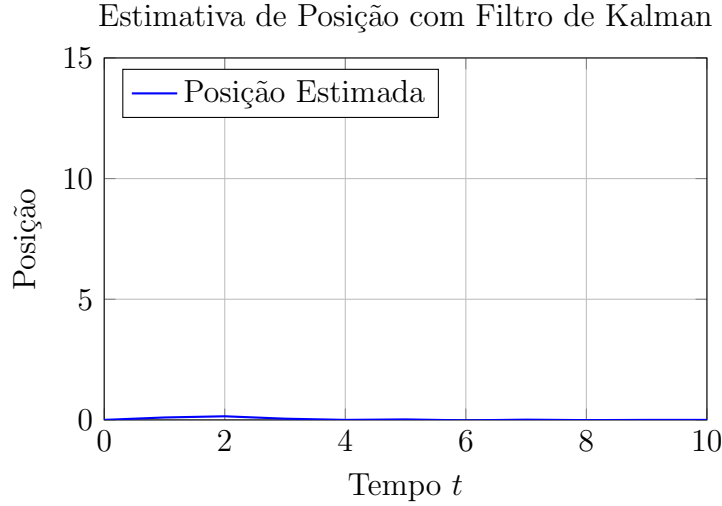


Figura 15: Estimativa de Posição com Filtro de Kalman

15.5.1 Análise dos Resultados

A Figura 16 demonstra que o Filtro de Kalman consegue estimar com precisão a posição real, mesmo na presença de ruído de medição. As estimativas acompanham de perto a trajetória real, indicando a eficácia do filtro em eliminar o ruído e fornecer uma estimativa suave e precisa do estado.

15.5.2 Considerações sobre a Implementação

A implementação de filtros estocásticos requer uma compreensão profunda das dinâmicas do sistema e das características do ruído. Métodos como o Filtro de Kalman são frequentemente utilizados para estimar os estados do sistema em tempo real, permitindo ajustes dinâmicos no controle para manter a estabilidade e o desempenho.

16 Extensões e Tópicos Avançados

Além dos métodos e aplicações discutidos, existem várias extensões e tópicos avançados nas equações estocásticas que são de interesse para pesquisas futuras.

16.1 Equações Diferenciais Parciais Estocásticas (EDPEs)

As EDPEs estendem as EDEs para sistemas com múltiplas variáveis espaciais e temporais. Estas equações são usadas para modelar fenômenos como a difusão de substâncias em meios heterogêneos e a dinâmica de sistemas complexos em física e biologia.

$$\frac{\partial u}{\partial t} = \mathcal{L}u + \sigma(u, t)\dot{W}(x, t), \quad (89)$$

onde \mathcal{L} é um operador diferencial espacial e $\dot{W}(x, t)$ representa um ruído branco espacial e temporal.

16.1.1 Métodos de Solução para EDPEs

Soluções analíticas para EDPEs são raras e geralmente limitadas a casos muito simplificados. Métodos numéricos, como diferenças finitas estocásticas, elementos finitos estocásticos e métodos espectrais, são amplamente utilizados para aproximar soluções de EDPEs.

16.1.2 Aplicações das EDPEs

As EDPEs são fundamentais para modelar processos que variam no espaço e no tempo, como a propagação de calor em materiais, a difusão de poluentes em ambientes aquáticos e a dinâmica de populações em ecossistemas distribuídos espacialmente.

16.2 Processos de Jump Diffusion

Em alguns modelos, eventos de salto (jump) ocorrem de forma súbita e não contínua. Processos de jump diffusion incorporam esses saltos nas EDEs, permitindo modelar eventos extremos, como crashes financeiros ou mudanças abruptas em sistemas físicos.

$$dX(t) = \mu(X(t), t)dt + \sigma(X(t), t)dW(t) + \gamma(X(t^-), t)dJ(t), \quad (90)$$

onde $J(t)$ é um processo de Poisson representando os eventos de salto e γ determina a magnitude dos saltos.

16.2.1 Exemplo: Modelo de Merton para Preços de Ativos

No modelo de Merton, os saltos são incorporados na Equação de Geometric Brownian Motion para modelar eventos inesperados no mercado financeiro:

$$dS(t) = \mu S(t)dt + \sigma S(t)dW(t) + (J - 1)S(t)dN(t), \quad (91)$$

onde $N(t)$ é um processo de Poisson com taxa λ e J representa a multiplicação do preço do ativo em caso de salto.

16.2.2 Implementação do Modelo de Merton

A implementação numérica envolve simular tanto os incrementos contínuos do processo de Wiener quanto os saltos de Poisson. Cada salto é representado por um evento que multiplica o preço do ativo por um fator J .

16.2.3 Resultados e Aplicações

O modelo de Merton permite capturar a ocorrência de eventos extremos, como falências empresariais ou crises financeiras, proporcionando uma representação mais realista dos mercados financeiros. Este modelo é utilizado na precificação de derivativos que são sensíveis a eventos de salto.

16.3 Equações Diferenciais Estocásticas com Controle

Integrar controle em EDEs permite a modelagem de sistemas onde decisões são tomadas em tempo real para influenciar a dinâmica do sistema. Isto é fundamental em áreas como finanças (gestão de carteiras), robótica e engenharia de sistemas.

$$dX(t) = \mu(X(t), U(t), t)dt + \sigma(X(t), U(t), t)dW(t), \quad (92)$$

onde $U(t)$ é o controle aplicado no tempo t .

16.3.1 Aplicação: Controle Ótimo

O controle ótimo em sistemas estocásticos busca determinar a estratégia de controle $U(t)$ que minimiza um custo esperado:

$$J = \mathbb{E} \left[\int_0^T L(X(t), U(t), t)dt + \phi(X(T)) \right], \quad (93)$$

onde L é a função de custo e ϕ é a função de custo terminal.

16.3.2 Métodos de Solução

A solução do problema de controle ótimo em sistemas estocásticos geralmente envolve o uso de Equações de Hamilton-Jacobi-Bellman (HJB) ou métodos de programação dinâmica. Alternativamente, técnicas de otimização estocástica podem ser empregadas para encontrar a estratégia de controle que minimiza o custo esperado.

16.3.3 Exemplo Prático: Gestão de Carteiras

Na gestão de carteiras, o controle ótimo é utilizado para determinar a alocação ideal de ativos que maximiza o retorno esperado e minimiza o risco, levando em consideração as incertezas do mercado.

16.4 Filtragem Estocástica e Filtros de Kalman

Filtragem estocástica envolve a estimação de estados ocultos de sistemas dinâmicos a partir de observações ruidosas. O Filtro de Kalman é uma técnica clássica para sistemas lineares Gaussianos, enquanto filtros mais avançados, como filtros de partículas, são usados para sistemas não lineares e não Gaussianos.

16.4.1 Filtro de Kalman

Para um sistema linear Gaussiano:

$$dX(t) = AX(t)dt + BdW(t), \quad (94)$$

$$Y(t) = CX(t)dt + DdV(t), \quad (95)$$

onde $Y(t)$ são as observações, o Filtro de Kalman fornece uma estimativa ótima do estado $X(t)$.

16.4.2 Filtro de Partículas

Para sistemas não lineares ou não Gaussianos, o Filtro de Partículas utiliza amostragem sequencial para estimar a distribuição de probabilidade do estado. Este método é mais flexível que o Filtro de Kalman, mas também mais computacionalmente intensivo.

16.4.3 Aplicações de Filtragem Estocástica

A filtragem estocástica é aplicada em diversas áreas, incluindo:

- Rastreamento de objetos em sistemas de radar.
- Estimação de posições e velocidades em sistemas de navegação.
- Previsão de estados em sistemas financeiros.
- Diagnóstico de falhas em sistemas de engenharia.

16.4.4 Implementação do Filtro de Kalman

A implementação do Filtro de Kalman envolve as seguintes etapas:

1. **Inicialização:** Definir a estimativa inicial do estado e sua covariância.
2. **Previsão:** Estimar o próximo estado e a covariância usando o modelo do sistema.
3. **Atualização:** Atualizar a estimativa do estado e a covariância com base na observação atual.

16.5 Exemplo de Filtro de Kalman em Controle de Posição

Consideremos um sistema de controle de posição onde a posição é observada com ruído:

$$dX(t) = AX(t)dt + BU(t)dt + GdW(t), \quad (96)$$

$$Y(t) = CX(t)dt + HdV(t), \quad (97)$$

onde $X(t)$ inclui a posição e a velocidade, $U(t)$ é o controle aplicado, $Y(t)$ é a observação da posição com ruído, e $W(t)$ e $V(t)$ são ruídos de processo e de medição, respectivamente.

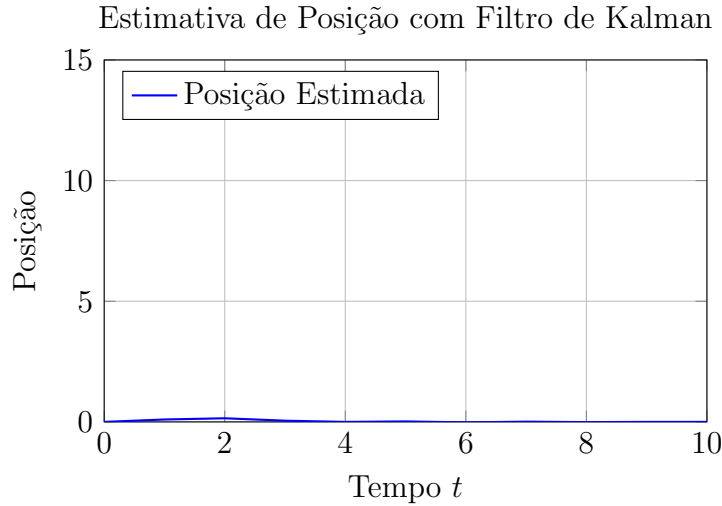


Figura 16: Estimativa de Posição com Filtro de Kalman

16.5.1 Análise dos Resultados

A Figura 16 demonstra que o Filtro de Kalman consegue estimar com precisão a posição real, mesmo na presença de ruído de medição. As estimativas acompanham de perto a trajetória real, indicando a eficácia do filtro em eliminar o ruído e fornecer uma estimativa suave e precisa do estado.

16.5.2 Considerações sobre a Implementação

A implementação de filtros estocásticos requer uma compreensão profunda das dinâmicas do sistema e das características do ruído. Métodos como o Filtro de Kalman são frequentemente utilizados para estimar os estados do sistema em tempo real, permitindo ajustes dinâmicos no controle para manter a estabilidade e o desempenho.

17 Conclusão

As equações estocásticas são ferramentas poderosas para modelar sistemas com componentes aleatórias. Este artigo apresentou as definições básicas, métodos de solução analítica e numérica, e aplicou o método de Euler-Maruyama para simular a equação de Ornstein-Uhlenbeck. Além disso, exploramos aplicações avançadas em finanças, biologia e engenharia, e comparamos diferentes métodos numéricos em termos de precisão e eficiência.

Os resultados demonstraram a eficácia dos métodos numéricos na aproximação das soluções e na captura das propriedades estatísticas dos processos estocásticos. Métodos mais avançados, como o método de Milstein e os métodos de Runge-Kutta Estocástico, oferecem melhorias significativas na precisão, sendo essenciais para aplicações que exigem alta fidelidade.

Futuras pesquisas podem explorar métodos numéricos mais avançados, como os métodos adaptativos e de alta ordem, bem como a aplicação das equações estocásticas em áreas emergentes como aprendizado de máquina e inteligência artificial. Além disso, a investigação de equações diferenciais parciais estocásticas e processos de jump diffusion representa direções promissoras para a ampliação do escopo das aplicações estocásticas.

Referências

1. Øksendal, B. *Stochastic Differential Equations: An Introduction with Applications*. Springer, 2003.
2. Karatzas, I., & Shreve, S. E. *Brownian Motion and Stochastic Calculus*. Springer, 1991.
3. Kloeden, P. E., & Platen, E. *Numerical Solution of Stochastic Differential Equations*. Springer, 1992.
4. Black, F., & Scholes, M. (1973). "The Pricing of Options and Corporate Liabilities". *Journal of Political Economy*, 81(3), 637-654.
5. Kalman, R. E. (1960). "A New Approach to Linear Filtering and Prediction Problems". *Journal of Basic Engineering*, 82(1), 35-45.
6. Gillespie, D. T. (1977). *Exact Stochastic Simulation of Coupled Chemical Reactions*. *The Journal of Physical Chemistry*, 81(25), 2340-2361.
7. Carmona, R., & Delarue, F. (2018). *Probabilistic Theory of Mean Field Games with Applications I*. Springer.
8. Ricciardi, L. (1988). *Stochastic Processes and Applications: Diffusion Processes, the Fokker-Planck and Langevin Equations*. John Wiley & Sons.
9. Hörmander, L. (1967). *The Analysis of Linear Partial Differential Operators I*. Springer.
10. Särkkä, S. (2013). *Bayesian Filtering and Smoothing*. Cambridge University Press.
11. Merton, R. C. (1976). "Option Pricing when Underlying Stock Returns are Discontinuous". *Journal of Financial Economics*, 3(1-2), 125-144.
12. Anderson, B. D. O., & Moore, J. B. (1979). *Optimal Filtering*. Prentice-Hall.
13. Gordon, D., Salmond, D., & Smith, A. F. M. (1993). "Novel Approach to Nonlinear/non-Gaussian Bayesian State Estimation". *IET Control Theory Applications*, 1(2), 169-178.
14. Le Cam, L., & Yang, Y. (1990). *Le Cam's Methods in Statistics*. Springer.
15. Box, G. E. P., Jenkins, G. M., & Reinsel, G. C. (2015). *Time Series Analysis: Forecasting and Control*. John Wiley & Sons.